



5 轴控制加工中心用最佳刀柄

热装式刀柄

SLIMLINE MONO CURVE



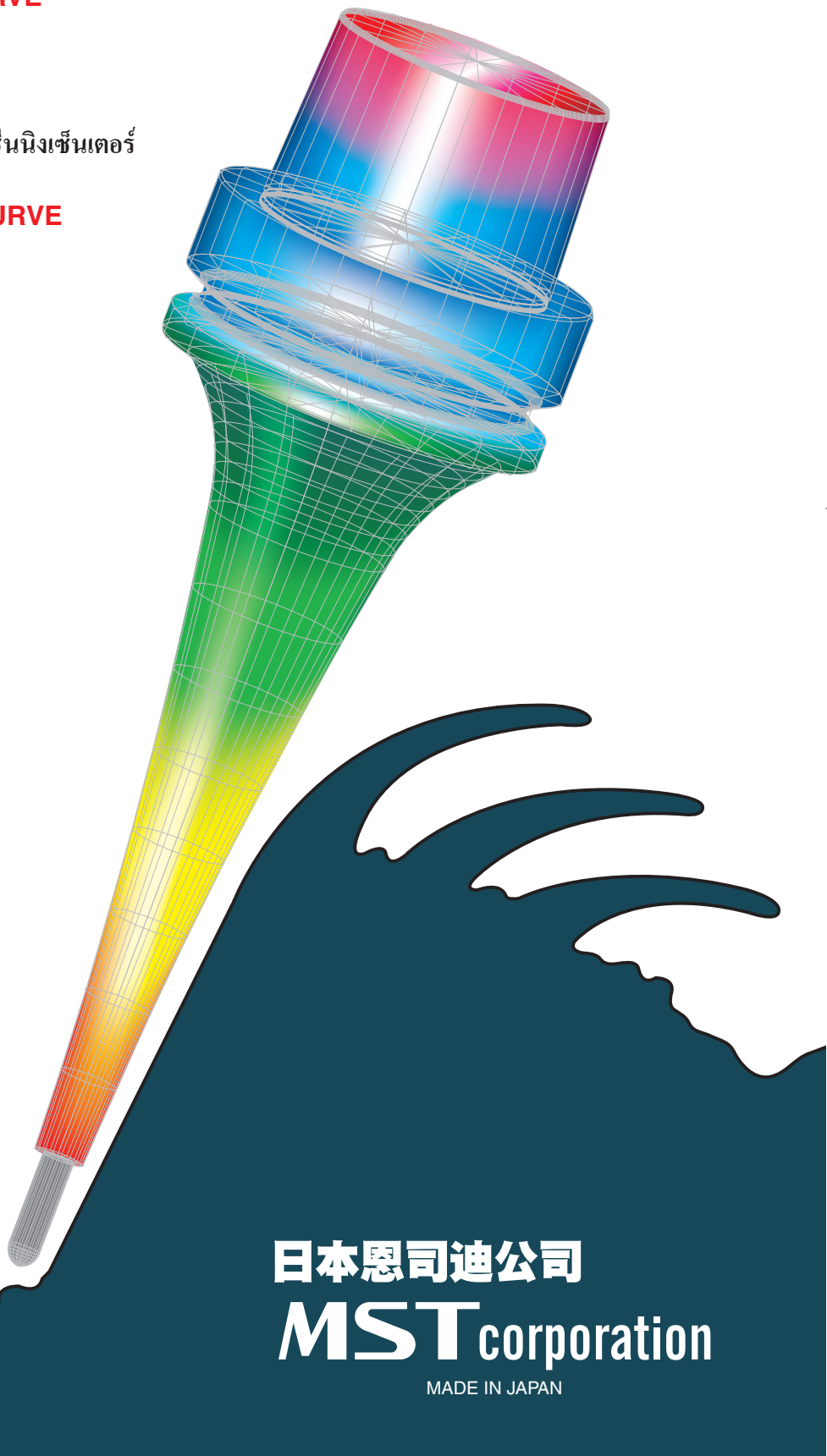
5축 가공센터를 위한 최적의 공구 헀더
열박음 헀더 SLIMLINE MONO CURVE



ทูลโซลเดอร์ที่เหมาะสมสำหรับเครื่องแมชชีนนิ่งเซ็นเตอร์
ระบบ 5 แกน
ชริงฟิต โซลเดอร์ SLIMLINE MONO CURVE



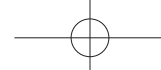
Optimum tool holder for 5 axis
machining center
SHRINK-FIT HOLDER
SLIMLINE MONO CURVE



日本恩司迪公司
MST corporation

MADE IN JAPAN

0910



5 轴控制加工中心 - 控制轴的构成.



5 축 가공센터 - 축 제어 형식



เครื่องแมชชีนนิ่งชีนเตอร์ระบบ 5 แกน - รูปแบบการควบคุมระบบแกน



5-Axis Machining Center - Axis control type.

5 轴控制

- 5 축 제어
- การควบคุมระบบ 5 แกน
- 5 axis control



3 轴直进 (X, Y, Z)

- 3 축 직선 운동
- การเคลื่อนที่แนวตรงระบบ 3 แกน
- 3 axis straight movement

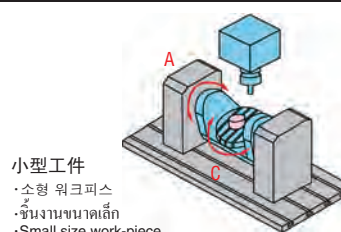


2 轴回转 (A, C)

- 2 축 테이블 포지셔닝
- การวางแผนตำแหน่ง工具 2 แกน
- 2 axis table positioning

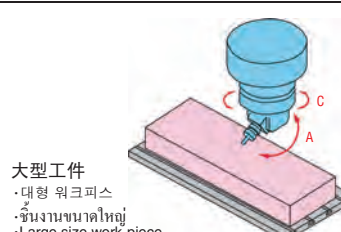
工作台 旋转型

- 테이블 틸트 형식
- แบบปรับอิสระได้ทาง
- Table Tilt type



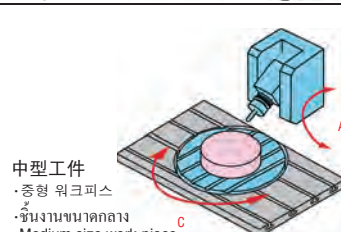
主轴头 旋转型

- 헤드 틸트 형식
- แบบปรับอิสระหัวสปินเดล
- Head Tilt type



工作台、主轴混合 旋转型

- 테이블 · 헤드 틸트 형식
- แบบปรับอิสระหัวสปินเดล
- Table·Head Tilt type



加工实例

사례 연구

กรณีศึกษา

Case study

5 轴联动加工

- 동시 5 축 가공
- การทำงานพร้อมกันทั้ง 5 แกน
- Simultaneous 5 axis machining

5 个轴同时运动，加工复杂的三维形状

- 동시 5 축 가공은 복잡한 3D 형상의 워크피스에 적합합니다.
- การทำงานพร้อมกันทั้ง 5 แกน หมายความว่าขั้นตอนที่มีปฏิกรรมสามมิติที่ซับซ้อน
- Simultaneous 5 axis machining is suitable for complicated 3D geometry work-pieces.



整体叶盘

- 블리스크
- Blisk



航空零部件

- 항공기 부품
- ชิ้นส่วนอุปกรณ์ทางอากาศยาน
- Aviation components



医疗器械零部件

- 의료 부품
- ชิ้นส่วนอุปกรณ์ทางการแพทย์
- Medical components



人工骨

- 인공 뼈
- กระดูกเทียม
- Artificial bone



人工关节

- 인공 관절
- ข้อเทียม
- Artificial joint

2+3 轴加工

- 2+3 축 가공
- การทำงานในระบบ 2+3 แกน
- 2+3 axis machining

用回转 2 轴分度，用直线 3 轴进行加工

- 2 축 테이블을 회전 및 틸팅하여 워크피스를 인덱싱하고 스플인들이 3 축 직선 운동으로 작동합니다.
- ในการแบ่งพื้นที่ทำงานโดยการหมุนและเอียงให้ทำงานระบบ 2 แกน เพื่อการทำงานร่วมกันใช้การเคลื่อนที่แนวตรงระบบ 3 แกน
- Indexing a work piece by rotating and tilting 2 axis table, a spindle works with using 3 axis straight movement.



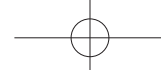
复杂形状零部件

- 복잡한 형상의 부품
- ชิ้นส่วนที่มีรูปร่างซับซ้อน
- Complicated geometry components



射出成型模具

- 사출 몰드
- แม่พิมพ์พลาสติก
- Injection mold



5轴加工时最佳刀柄形状



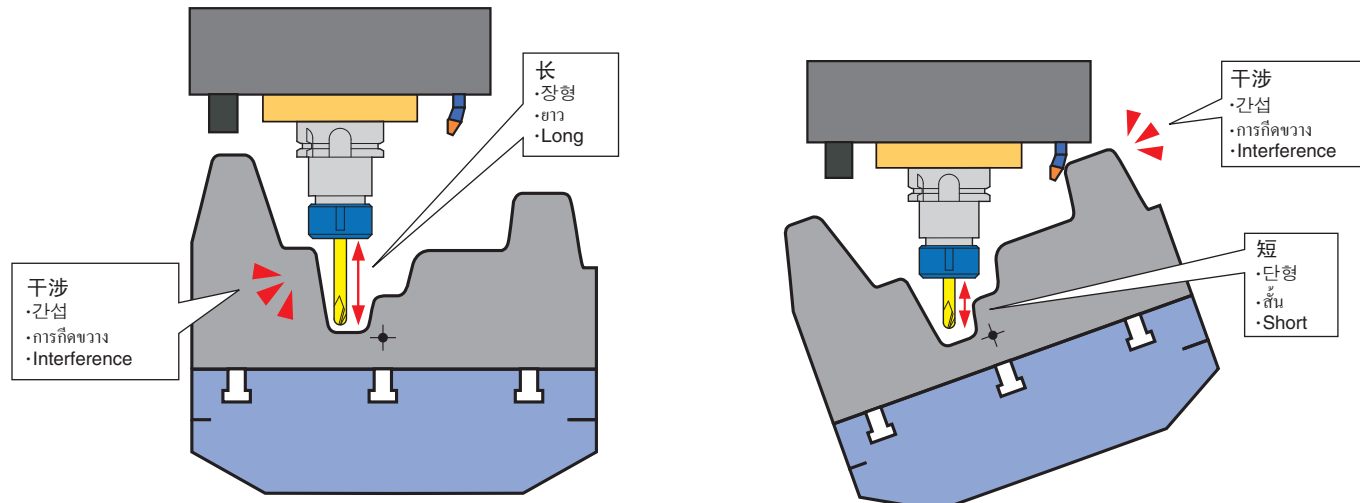
5 축 가공을 위한 최적의 공구 헀더 설계



การออกแบบทูลไฮดรอลิคเดอร์ที่เหมาะสมสำหรับการทำงานระบบ 5 แกน



The optimum tool holder design for 5 axis machining.



深腔 陡壁

3 轴 加工

- 在 3 轴加工深腔且有陡壁的工件时，为了避免和刀柄前端部的干涉，刃具的突出量需要放长。

5 轴 加工

- 5 轴加工时，工件相对于主轴自由倾斜旋转，刀柄的干涉减少，刃具的突出长度可放短。。。
- 但是，主轴头和工件之间会产生干涉。



깊은 구멍 급경사 벽면

3 축 가공

- 깊은 구멍 또는 급경사 벽면을 가공할 경우 3 축 가공의 간섭을 피하기 위해 절삭 공구의 돌출량을 길게 해야 합니다.

5 축 가공

- 5 축 가공에서는 2 축 테이블을 회전 및 틸팅하여 워크피스를 자유롭게 틸팅할 수 있으므로 공구 헀더의 간섭을 줄이고 커터 돌출을 짧게 할 수 있습니다.
- 이러한 이점이 있는 반면, 스픬들 노즈와 워크피스 사이에 간섭이 발생합니다.



ร่องลึก ผนังชัน

การทำงานในระบบ 3 แกน

- ในการตัดเฉือนชิ้นงานที่มีร่องลึกหรือผนังชันจำเป็นจะต้องใช้ทูลที่มีความยาวเพิ่มมากขึ้นเพื่อหลีกเลี่ยงสั่งกีดขวางในการทำงานที่พบใน การทำงานระบบ 3 แกน

การทำงานในระบบ 5 แกน

- ในการทำงานระบบ 5 แกนนี้ ลิ้งกีดขวางทูลไฮดรอลิคเดอร์จะน้อยกว่าและ ระยะหันบีดทูลจะสั้นกว่า เมื่อจากสามารถเลี้ยวชิ้นงานได้อย่างอิสระ ด้วยการหมุนและการเอียงโต๊ะหมุนระบบ 2 แกน
- แทนที่จะเกิดผลดี แต่กลับทำให้เกิดการกีดขวางระหว่างหัวเพลาหมุน กับชิ้นงาน



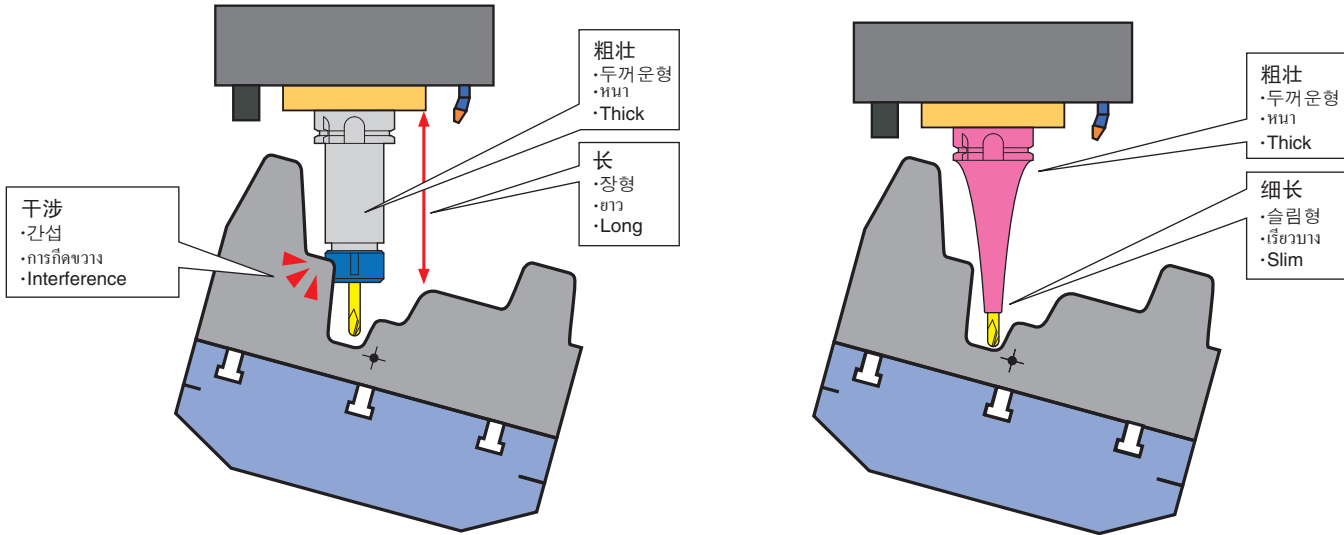
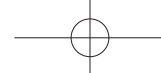
Deep cavity Steep wall

3 axis machining

- Longer cutter projection is required in deep cavity or steep wall machining in order to avoid an interference in 3 axis machining.

5 axis machining

- It becomes less interference of tool holder and cutter projection shorter in 5 axis machining because of freely tilting a work-piece by rotating and tilting 2 axis table.
- Instead of this advantage, it creates an interference between spindle nose and work-piece.



- 为了避免干涉，工具（刀柄 + 刀具）的全长必然会变长。
- 传统的刀柄（筒夹式刀柄、强力铣刀柄）由于前端部体积大，容易对工件产生干涉。

理想的刀柄设计是

- 前端极限的细长，根部尽可能粗壮，不仅体长而且又具有刚性。

- 이와 같은 간섭을 피하기 위해 5 축 가공은 불가피하게 더 긴 공구 셋업 (공구 헀더 + 절삭 공구) 이 필요합니다.
- 일반적으로 사용되는 콜렛 헀더와 밀링 척의 경우 헀더의 노즈 가 크고 쉽게 간섭이 발생할 수 있습니다.

최적 공구 헀더 설계

- SLIMLINE 공구 헀더는 매우 얇은 노즈와 슬림한 디자인으로 긴 게이지 길이에서도 탁월한 강성을 제공합니다.

- การทำงานในระบบ 5 แกน จำเป็นต้องใช้ทูลที่ยาวกว่า (ไฮล์เดอร์+ทูล) เพื่อหลีกเลี่ยงการเกิดขวางที่เกิดขึ้น
- ในคอลเล็ตโคล์เตอร์และหัวจับคอกสว่านที่ใช้กันโดยทั่วไป ส่วนหัวของโคล์เตอร์จะใหญ่กว่าและก่อให้เกิดอุปสรรคในการทำงานได้มากกว่า

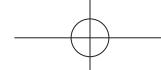
การออกแบบทูลโซลเดอร์ที่เหมาะสมที่สุด

- ทูลโซลเดอร์ซึ่งมีส่วนหัวและรูปแบบเรียวบางเป็นพิเศษนี้ มีความแข็งเป็นพิเศษแม้จะต้องใช้ทูลที่ยาว

- To avoid this interference, 5 axis machining inevitably requires longer tool set-up (Tool holder+cutting tool).
- With commonly used collet holder and milling chucks, the nose of the holder is larger and more likely to interfere.

Optimum tool holder design

- The tool holder which has remarkable slim nose and design achieves super rigidity even though long gauge length.



刚性 (弯曲量)



刚性 (弯)



ความแข็งแรง (การโก่งตัว)



Rigidity (Deflection)



弯曲量计算公式



휨량 계산 공식



สูตรการคำนวณหาค่าการโก่งตัว



Calculating formula of deflection amount

弯曲量和长度的 3 次方成正比。

휨량은 길이의 3 승에 비례합니다.

ค่าการโก่งตัวจะเป็นสัดส่วนโดยตรงกับค่าความยาวยกกำลังสาม

Deflection amount is proportional to the cube of length.

$$S = \frac{6.8 \times F \times L^3}{E \times D^4}$$

弯曲量和直径的 4 次方成反比。

휨량은 직경의 4 승에 반비례합니다.

ค่าการโก่งตัวจะเป็นสัดส่วนผกผันกับขนาดเส้นผ่านศูนย์กลางยกกำลังสี่

Deflection amount is inversely proportional to the fourth power of diameter.

S : 弯曲量

D : 轴径

L : 突出长度

F : 负荷

E : 杨氏系数

S : 휨량

D : 상크 직경

L : 돌출

F : 부하

E : 종탄성계수 (Young's module)

S : ค่าการโก่งตัว

D : เส้นผ่านศูนย์กลางของก้าน

L : ระยะจัมชุด

F : แรงที่มากระทบ

E : ค่าโมดูลัสของเชิง (Young's module)

S : Deflection amount

D : Shank Diameter

L : Projection

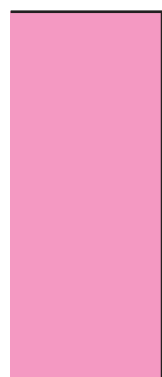
F : Load

E : Young's module

1

8 倍弯曲

- 휨 8 배
- การโก่งตัว 8 เท่า
- Deflection 8 times



轴径相同，突出长度为 2 倍时

เส้นผ่านศูนย์กลางเท่าเดิม
ระยะจัมชุดเพิ่มเป็น 2 เท่า

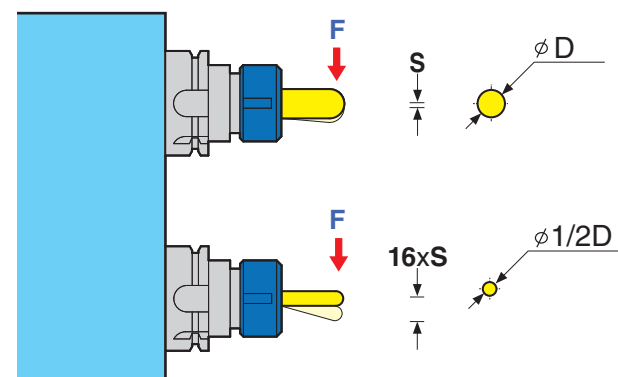
직경은 같으며, 커터 돌출은 2 배입니다.

Diameter is same,cutter projection is twice.

2

16 倍弯曲

- 휨 16 배
- การโก่งตัว 16 เท่า
- Deflection 16 times

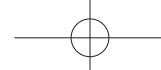


突出长度相同，轴径为 2 倍时

ระยะจัมชุดเท่าเดิม
เส้นผ่านศูนย์กลางคล่องครึ่งหนึ่ง

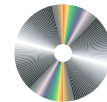
커터 돌출은 같으며 직경은 절반입니다.

Cutter projection is same, diameter is half.



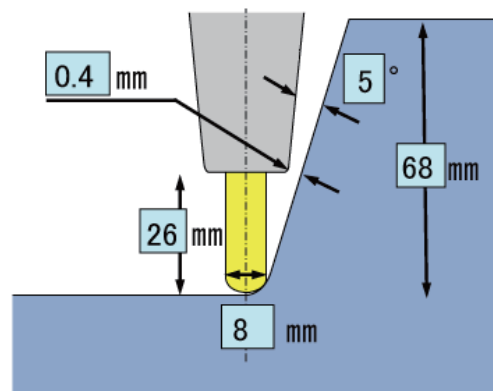
中国 最佳刀柄选择软件

中国
최적 공구 헀더 선정 소프트웨어
ซอฟต์แวร์สำหรับเลือกหูลออลเดอร์ที่เหมาะสมที่สุด
Software of selecting optimum tool holder.



自动选定刚性较高的刀柄

只需输入工件以及刀具信息，就可自动选择刚性最高的刀柄。



자동으로 최고 강성의 공구 헀더를 선정해 줍니다.

워크피스와 절삭 공구 정보를 입력하면 자동으로 최고 강성의 Slimline 헀더를 선정해 줍니다.

การเลือกหูลออลเดอร์ที่มีความแข็งแรงสูงโดยอัตโนมัติ

เมื่อป้อนข้อมูลของชิ้นงานและหูลาก้าไป สลิมไลน์โลอลเดอร์ที่มีความแข็งแรงสูงสุดจะถูกเลือกโดยอัตโนมัติ

Automatic selection of high rigidity tool holder

When input the information of work-piece and cutting tool, the highest rigidity slimline holder is selected automatically.

Priority	Type	Model no.	Collet no.	Deflection amount	L/D	Projection	Angle	Effective depth
1	MONO	BT40-SLSA8-95-M42		3.433	6.2	26.0	5.0	68.3
2	2P	BT40-SLK12-45F	CS12-8-55	3.625	6.3	26.0	5.0	71.1
3	2P	BT40-SLK12-45	CS12-8-55	3.643	6.3	26.0	5.0	71.1
4	MONO	BT40-SLSA8-125-M42		5.316	6.3	26.0	5.0	68.3
5	MONO	BT40-SLSA8-155-M42	CR12-6-55	5.332	6.4	26.0	5.0	68.3

利用刀柄刀具形状尺寸数据进行刀轨模拟

中国
공구 헀더 및 절삭 공구를 사용한 공구 패스 시뮬레이션
การจำลองการทำงานของหูลออลเดอร์ที่ติดตั้งเข้ากับโลอลเดอร์
Simulation for a tool pass with a tool holder and cutting tool.

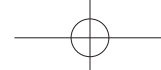
下列 CAM 软件，可以搭载热装式刀柄的全部外观形状数据资料。

아래 CAM 시뮬레이터에는 모든 Slimline 형상 데이터가 포함되어 있습니다.

เครื่องจำลองแบบ CAM มีข้อมูลทางเรขาคณิตทั้งหมดของสลิมไลน์

Below CAM simulators have all of Slimline geometry datas.





热装专用短尺寸铣刀



열박음 훌더용 짧은 전장 엔드밀



ເອັນມີລີ (ດອກກັດ) ທີ່ມີຄວາມຍາວຮຸມສັ້ນສໍາຫຼັບຂົງປິໄຕ ໂໂລດເດວີ່



Short allover length end-mill for shrink-fit holder.



对于热装式刀柄最佳的 [柄部短]、
[刃部短] 的热装专用短尺寸铣刀，
由以下各刀具公司提供。



짧은 커터 샹크와 짧은 절삭 플루트가 있
는 열박음 공구 훌더용 짧은 전장 엔드밀
은 아래 제조업체에서 제공됩니다.

柄部短

刃部短

突出量最短

刚性提高

짧은 샹크

짧은 커터 플루트

최소 커터 돌출

강성 증가



บริษัทผู้ผลิตเอ็นมิล(ดอกกัด)ที่มีความ
ขาวຮຸມສັ້ນສໍາຫຼັບໃຫ້ກັບຂົງປິໄຕຖຸດ
ໂໂລດເດວີ່ທີ່ມີກຳນົດອກກັດແລະຮະຍະກິນ
ລືກສັ້ນຈະແສດງອຸ່ນດ້ານລ່າງ

ກຳນົດສັ້ນ

ຮະຍະກິນລືກສັ້ນ

ຮະຍະຈັບຢືນທຸດ
ຕໍ່າຊຸດ

ຄວາມເພື່ອແຈງ
ກີ່ເພີມເກີນ

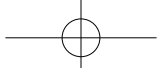
Short shank

Short cutting flute

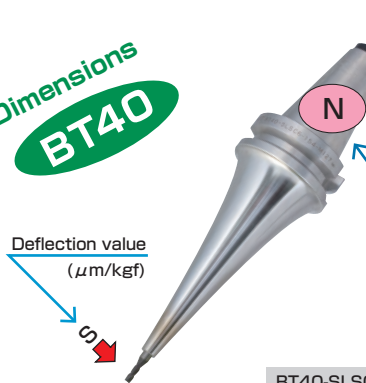
Minimum cutter projection

Increasing rigidity





Dimensions
BT40



Deflection value
($\mu\text{m}/\text{kN}$)

$S \downarrow$

Imbalance value
(g·mm)

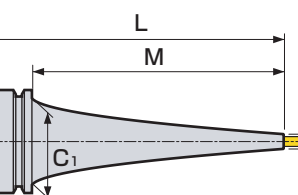
C_1

L

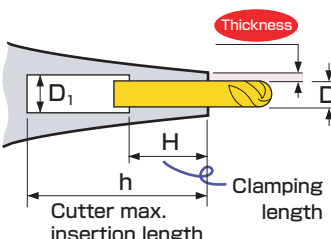
M

ϕD

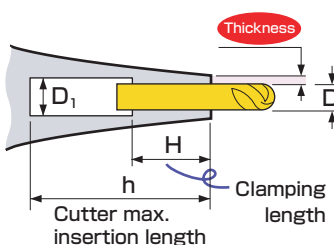
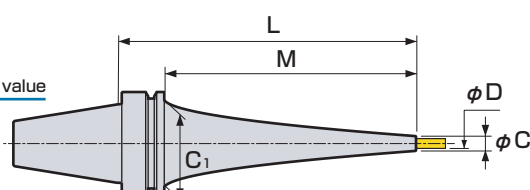
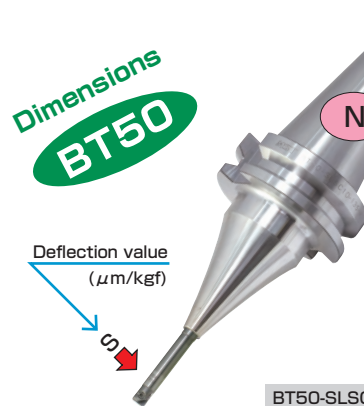
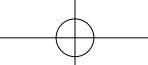
ϕC



SCALE MODEL → P.16



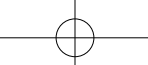
Code	ϕD	ϕC	Thickness	L	M	ϕC_1	ϕD_1	H	h	Kg	N	S
BT40 – SLSC 4 – 90	4	7	1.5	90	63	53	5	12	125	1.2	3.3	1.8
				120	93				175	1.3	3.8	2.7
				150	123				205	1.5	4.4	4.0
				180	153				235	1.5	4.8	6.6
				210	183				265	1.6	4.9	11.6
				240	213				295	1.8	5.8	14.0
BT40 – SLSC 6 – 90	6	9		90	63	7	18	12	125	1.2	3.3	1.6
				120	93				175	1.3	3.8	2.3
				150	123				205	1.5	4.3	3.6
				180	153				235	1.5	4.9	5.7
				210	183				265	1.7	5.7	7.3
				240	213				295	1.8	5.9	12.0
BT40 – SLSC 8 – 90	8	11		90	63	9	24	12	125	1.2	3.3	1.4
				120	93				175	1.3	4.0	2.0
				150	123				205	1.5	4.8	2.7
				180	153				235	1.6	4.9	5.0
				210	183				265	1.7	5.8	6.6
				240	213				295	1.9	6.7	8.3
BT40 – SLSC10 – 90	10	13		90	63	11	30	12	125	1.2	3.3	1.8
				120	93				175	1.5	4.3	1.3
				150	123				205	1.6	4.9	2.2
				180	153				235	1.7	5.6	3.4
				210	183				265	1.7	6.0	6.0
				240	213				295	2.0	7.9	5.8
BT40 – SLSC12 – 90	12	15		90	63	14	30	12	125	1.3	3.7	1.5
				120	93				175	1.5	4.6	1.2
				150	123				205	1.5	4.9	2.4
				180	153				235	1.7	5.7	3.3
				210	183				265	1.9	6.6	4.6
				240	213				295	2.0	8.0	5.5
BT40 – SLSC16 – 90	16	21	2.5	90	63	17	32	12	100	1.3	4.2	0.6
				120	93				130	1.5	5.5	0.8
				150	123				160	1.6	6.2	1.5
				180	153				190	1.9	7.5	1.9
				210	183				220	2.0	8.2	3.0
				240	213				250	2.2	9.5	3.7
BT40 – SLSC20 – 90	20	26	3	90	63	50.5	21	40	100	1.3	4.4	0.5
				120	93				130	1.5	5.8	0.8
				150	123				160	1.6	6.7	1.3
				180	153				190	1.9	8.0	1.8
				210	183				220	2.1	9.4	2.3
				240	213				250	2.4	10.7	3.0



BT50-SLSC10-135

SCALE MODEL → P.18

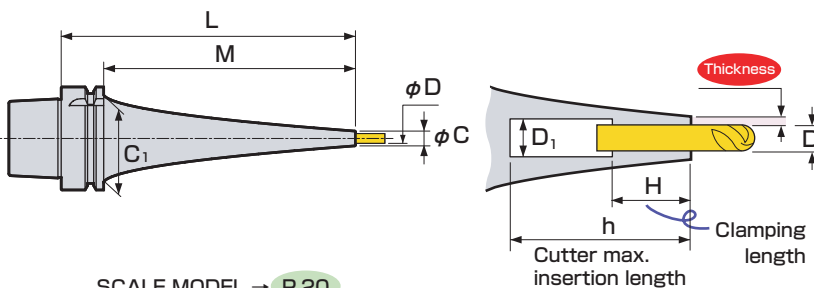
Code	ϕD	ϕC	Thickness	L	M	ϕC_1	ϕD_1	H	h	Kg	N	S	
BT50 – SLSC 4 – 165	4	7	1.5	165	127	85	5	12	220	5.2	15.4	1.8	
				195	157				250	5.3	15.9	2.6	
				225	187				280	5.5	16.4	3.8	
				255	217				310	5.6	16.9	5.7	
				285	247				340	6.4	19.5	5.9	
				315	277				370	8.3	26.0	7.7	
BT50 – SLSC 6 – 165	6	9		165	127	7	18	220	5.1	15.1	1.5		
				195	157				250	5.2	15.5	2.4	
				225	187				280	5.7	16.8	2.9	
				255	217				310	5.9	18.4	4.0	
				285	247				340	6.2	19.5	5.2	
				315	277				370	8.4	26.8	6.9	
BT50 – SLSC 8 – 165	8	11		165	127	9	24	220	4.9	14.7	1.4		
				195	157				250	5.3	16.1	1.9	
				225	187				280	5.8	17.7	2.3	
				255	217				310	5.8	17.9	3.7	
				285	247				340	6.0	19.1	4.9	
				315	277				370	8.4	28.0	5.0	
BT50 – SLSC10 – 165	10	13		165	127	11	30	220	4.9	14.9	1.2		
				195	157				250	5.5	16.9	1.5	
				225	187				280	5.4	16.8	2.4	
				255	217				310	6.1	19.8	2.6	
				285	247				340	6.3	21.2	3.7	
				315	277				370	8.4	28.6	4.6	
BT50 – SLSC12 – 165	12	15		165	127	13	32	220	4.8	14.6	1.2		
				195	157				250	5.6	17.6	1.2	
				225	187				280	5.8	18.5	1.8	
				255	217				310	6.0	19.3	2.6	
				285	247				340	6.2	21.2	3.5	
				315	277				370	8.5	29.2	3.6	
BT50 – SLSC16 – 165	16	21	2.5	165	127	17	32	220	5.4	17.8	0.6		
				195	157				250	5.4	17.7	1.1	
				225	187				280	6.3	21.1	1.2	
				255	217				310	6.1	20.9	2.0	
				285	247				340	7.0	24.3	2.0	
				315	277				370	8.6	30.9	2.6	
BT50 – SLSC20 – 165	20	26	3	165	127	21	40	220	5.4	17.4	0.6		
				195	157				250	6.1	20.8	0.7	
				225	187				280	5.8	20.5	1.2	
				255	217				310	6.7	23.9	1.3	
				285	247				340	7.0	25.4	1.7	
				315	277				370	8.9	32.4	2.3	



Dimensions
A63

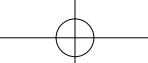


A63-SLSC10- 90



SCALE MODEL → P.20

Code	ϕD	ϕC	Thickness	L	M	ϕC_1	ϕD_1	H	h	Kg	N	S
A63 – SLSC 4 – 90	4	7	1.5	90	64	53	5	12	65	1.0	9.3	1.8
				120	94				95	1.1	10.1	2.7
				150	124				125	1.3	11.0	4.0
				180	154				154	1.4	11.6	6.6
				210	184				185	1.4	11.8	11.6
				240	214				214	1.6	13.1	14.0
				270	244				245	2.0	15.4	11.9
				300	274				275	2.1	16.3	15.9
				90	64	7	18	65	1.0	9.4	1.6	
A63 – SLSC 6 – 90	6	9		120	94				95	1.1	10.1	2.3
				150	124				125	1.3	11.0	3.6
				180	154				154	1.4	11.7	5.7
				210	184				184	1.6	13.0	7.3
				240	214				214	1.6	13.3	12.0
				270	244				245	2.1	16.3	8.5
				300	274				275	2.3	17.2	11.7
				90	64	9	24	65	1.0	9.4	1.4	
				120	94				94	1.1	10.3	2.0
A63 – SLSC 8 – 90	8	11		150	124				124	1.3	11.5	2.7
				180	154				155	1.4	11.8	5.0
				210	184				184	1.6	13.2	6.6
				240	214				214	1.8	14.4	8.3
				270	244				244	2.2	17.2	6.9
				300	274				274	2.4	18.5	8.9
				90	64	11	30	65	1.0	9.4	1.8	
				120	94				95	1.3	10.9	1.3
				150	124				125	1.4	11.8	2.2
A63 – SLSC10 – 90	10	13		180	154				154	1.6	12.9	3.4
				210	184				184	1.6	13.3	6.0
				240	214				212	2.1	16.0	5.8
				270	244				244	2.1	17.5	6.6
				300	274				274	2.3	18.7	8.5
				90	64	14	30	64	1.1	9.9	1.5	
				120	94				94	1.3	11.3	1.2
				150	124				124	1.4	11.8	2.4
				180	154				154	1.6	13.0	3.3
				210	184				184	1.8	14.3	4.6
				240	214				212	2.1	16.2	5.5
				270	244				244	2.3	18.4	5.4
A63 – SLSC12 – 90	12	15		90	64	17	32	62	1.1	10.5	0.6	
				120	94				92	1.5	12.4	0.8
				150	124				122	1.6	13.5	1.5
				180	154				152	1.9	15.4	1.9
				210	184				182	2.1	16.5	3.0
				240	214				212	2.4	18.4	3.7
				270	244				242	2.2	20.3	4.6
				90	64	20	40	62	1.2	10.7	0.5	
				120	94				92	1.5	12.8	0.8
A63 – SLSC16 – 90	16	21	2.5	150	124				122	1.7	14.1	1.3
				180	154				152	2.0	16.2	1.8
				210	184				182	2.4	18.2	2.3
				240	214				212	2.7	20.2	3.0
				270	244				242	2.5	22.8	3.4
				90	64	21	40	62	1.2	10.7	0.5	
				120	94				92	1.5	12.8	0.8
				150	124				122	1.7	14.1	1.3
				180	154				152	2.0	16.2	1.8
				210	184				182	2.4	18.2	2.3
				240	214				212	2.7	20.2	3.0
				270	244				242	2.5	22.8	3.4



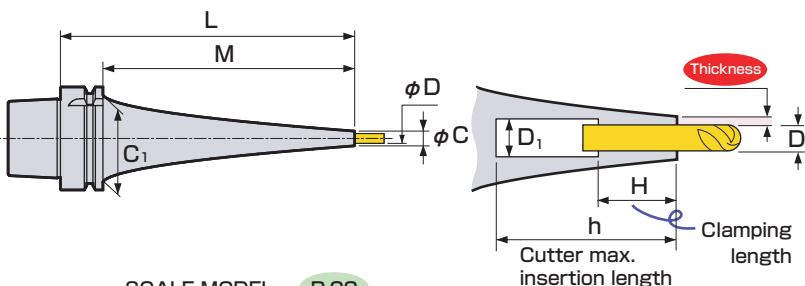
Dimensions
A100



Imbalance value
(g·mm)

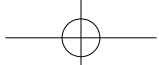
Deflection value
($\mu\text{m}/\text{kN}$)

A100-SLSC16-165

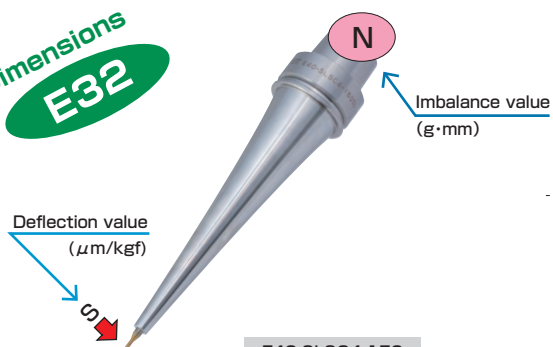


SCALE MODEL → P.22

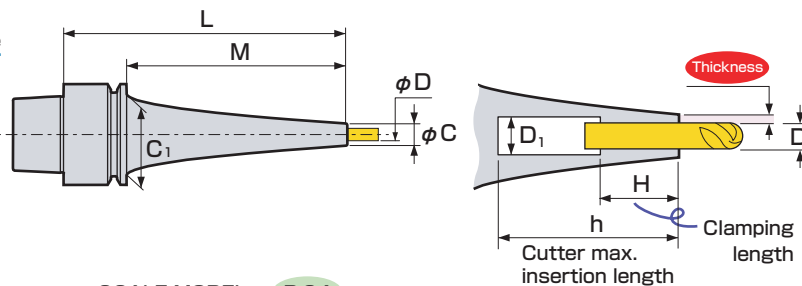
Code	ϕD	ϕC	Thickness	L	M	ϕC_1	ϕD_1	H	h	Kg	N	S
A100 – SLSC 4 – 165	4	7	1.5	165	127	85	5	12	220	3.4	29.0	2.5
				195	157				250	3.7	30.6	3.3
				225	187				280	4.3	33.0	3.8
				255	217				310	4.4	34.1	5.6
				285	247				340	4.6	35.5	7.6
				315	277				370	4.9	37.1	9.8
				345	307				400	5.2	38.8	12.4
A100 – SLSC 6 – 165	6	9		165	127	7	18	24	220	3.3	28.8	2.1
				195	157				250	4.0	32.0	2.3
				225	187				280	4.1	32.4	3.6
				255	217				310	4.8	35.9	3.9
				285	247				340	5.0	37.4	5.2
				315	277				370	5.3	38.9	6.8
				345	307				400	5.6	40.3	8.7
A100 – SLSC 8 – 165	8	11		165	127	9	24	24	220	3.7	30.7	1.4
				195	157				250	3.7	31.0	2.3
				225	187				280	4.6	35.3	2.3
				255	217				310	4.6	35.9	3.6
				285	247				340	4.9	37.4	4.8
				315	277				370	5.7	41.9	5.0
				345	307				400	6.1	45.1	6.0
A100 – SLSC10 – 165	10	13		165	127	11	30	24	220	3.5	29.4	1.4
				195	157				250	4.3	33.6	1.5
				225	187				280	4.2	33.4	2.4
				255	217				310	4.5	34.3	3.5
				285	247				340	5.1	38.3	3.6
				315	277				370	5.1	39.9	4.8
				345	307				400	5.9	42.7	5.5
A100 – SLSC12 – 165	12	15		165	127	13	30	24	220	4.2	34.1	1.2
				195	157				250	4.1	33.6	1.2
				225	187				280	4.8	38.3	1.8
				255	217				310	4.8	37.8	2.6
				285	247				340	5.5	42.5	3.5
				315	277				370	5.9	44.6	4.3
				345	307				400	6.2	46.7	5.3
A100 – SLSC16 – 165	16	21	2.5	165	127	17	32	24	220	4.2	34.2	0.6
				195	157				250	4.0	33.7	1.1
				225	187				280	4.8	38.4	1.2
				255	217				310	4.7	38.0	2.0
				285	247				340	5.5	42.6	2.0
				315	277				370	5.9	44.8	2.6
				345	307				400	6.2	46.9	3.3
A100 – SLSC20 – 165	20	26	3	165	127	21	40	24	220	4.0	33.6	0.6
				195	157				250	4.9	38.1	0.7
				225	187				280	4.6	37.4	1.2
				255	217				310	5.5	42.1	1.3
				285	247				340	5.2	41.2	2.1
				315	277				370	6.1	46.0	2.3
				345	307				400	6.4	47.9	2.9



Dimensions
E32



E40-SLSC4-150



SCALE MODEL → P.24

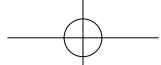
Code	ϕD	ϕC	Thickness	L	M	ϕC_1	ϕD_1	H	h	Kg	N	S
E32 - SLSC 4 - 60	4	7	1.5	60	40	26	5	12	43	0.2	0.6	2.4
- 90	- 90			90	70				73	0.2	0.8	6.1
E32 - SLSC 6 - 60	6	9		60	40	7	18	43	0.2	0.7	1.9	
- 90	- 90			90	70				73	0.2	0.9	4.9
E32 - SLSC 8 - 60	8	11		60	40	8.6	24	38	0.2	0.7	1.6	
- 90	- 90			90	70				0.2	1.0	4.0	
E32 - SLSC10 - 60	10	13		60	40	10.6	30	48	0.2	0.8	1.4	
- 90	- 90			90	70				60	0.2	1.1	3.5

Dimensions
E40

Code	ϕD	ϕC	Thickness	L	M	ϕC_1	ϕD_1	H	h	Kg	N	S
E40 - SLSC 4 - 90	4	7	1.5	90	70	34	5	12	74	0.3	1.5	2.9
- 120	- 120			120	100				104	0.4	1.8	6.5
- 150	- 150			150	130				134	0.5	2.4	8.6
E40 - SLSC 6 - 90	6	9		90	70	7	18	74	0.3	1.6	2.5	
- 120	- 120			120	100				104	0.4	1.9	5.6
- 150	- 150			150	130				134	0.5	2.5	7.7
E40 - SLSC 8 - 90	8	11		90	70	9	24	74	0.3	1.7	2.2	
- 120	- 120			120	100				104	0.4	2.0	3.4
- 150	- 150			150	130				134	0.5	3.0	5.1
E40 - SLSC10 - 90	10	13		90	70	11	30	74	0.3	1.7	2.0	
- 120	- 120			120	100				104	0.4	2.4	3.2
- 150	- 150			150	130				134	0.5	3.1	5.0

Dimensions
E50

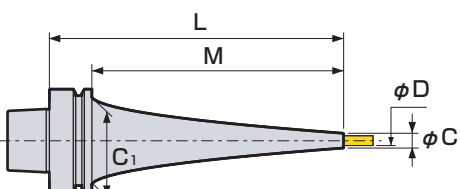
Code	ϕD	ϕC	Thickness	L	M	ϕC_1	ϕD_1	H	h	Kg	N	S
E50 - SLSC 4 - 90	4	7	1.5	90	64	42	5	12	74	0.6	2.2	1.8
- 120	- 120			120	94				104	0.6	2.6	4.2
- 150	- 150			150	124				134	0.7	3.3	6.0
- 180	- 180			180	154				164	0.8	3.5	12.0
E50 - SLSC 6 - 90	6	9		90	64	7	18	74	0.6	2.3	1.6	
- 120	- 120			120	94				104	0.6	2.7	3.5
- 150	- 150			150	124				134	0.7	3.4	5.4
- 180	- 180			180	154				164	0.9	4.2	7.6
E50 - SLSC 8 - 90	8	11		90	64	9	24	74	0.6	2.5	1.4	
- 120	- 120			120	94				104	0.7	3.2	2.2
- 150	- 150			150	124				134	0.7	3.5	4.9
- 180	- 180			180	154				164	0.8	4.2	7.1
E50 - SLSC10 - 90	10	13		90	64	11	30	74	0.6	2.5	1.3	
- 120	- 120			120	94				104	0.7	3.3	2.1
- 150	- 150			150	124				134	0.8	4.1	3.4
- 180	- 180			180	154				164	0.8	4.3	6.9



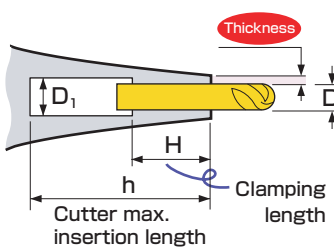
Dimensions
F63



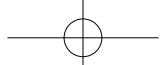
F63-SLSC6- 90



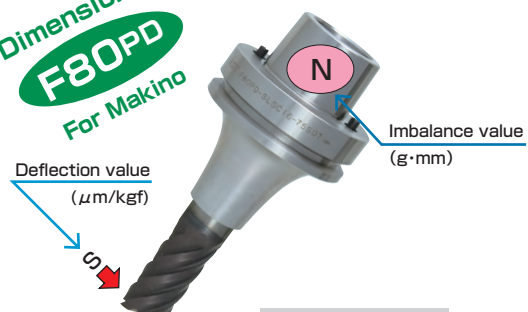
SCALE MODEL → P.26



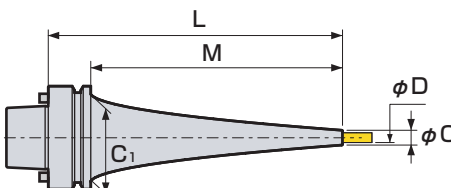
Code	ϕD	ϕC	Thickness	L	M	ϕC_1	ϕD_1	H	h	Kg	N	S
F63 – SLSC 4 – 90	4	7	1.5	90	64	53	5	12	65	0.9	2.7	1.8
				120	94				95	1.0	3.6	2.7
				150	124				125	1.2	4.4	4.0
				180	154				154	1.3	5.0	6.6
				210	184				185	1.3	5.3	11.6
				240	214				214	1.6	6.5	14.0
				270	244				245	1.9	8.8	11.9
				300	274				275	2.0	9.7	15.9
F63 – SLSC 6 – 90	6	9		90	64	7	18	12	65	0.9	2.8	1.6
				120	94				95	1.0	3.6	2.3
				150	124				125	1.2	4.4	3.6
				180	154				154	1.3	5.2	5.7
				210	184				184	1.5	6.4	7.3
				240	214				214	1.6	6.7	12.0
				270	244				245	2.0	9.7	8.5
				300	274				275	2.2	10.6	11.7
F63 – SLSC 8 – 90	8	11		90	64	9	24	12	65	0.9	2.9	1.4
				120	94				94	1.1	3.8	2.0
				150	124				124	1.3	5.0	2.7
				180	154				155	1.3	5.2	5.0
				210	184				184	1.5	6.6	6.6
				240	214				214	1.8	7.8	8.3
				270	244				244	2.1	10.7	6.9
				300	274				274	2.3	11.9	8.9
F63 – SLSC10 – 90	10	13		90	64	11	30	12	65	0.9	2.9	1.8
				120	94				95	1.2	4.4	1.3
				150	124				125	1.3	5.2	2.2
				180	154				154	1.5	6.3	3.4
				210	184				184	1.6	6.8	6.0
				240	214				212	2.0	9.4	5.8
				270	244				244	2.1	10.9	6.6
				300	274				274	2.3	12.2	8.5
F63 – SLSC12 – 90	12	15		90	64	14	30	12	64	1.0	3.4	1.5
				120	94				94	1.2	4.7	1.2
				150	124				124	1.3	5.2	2.4
				180	154				154	1.5	6.5	3.3
				210	184				184	1.7	7.7	4.6
				240	214				212	2.0	9.6	5.5
				270	244				244	2.2	11.8	5.4
F63 – SLSC16 – 90	16	21	2.5	90	64	17	32	12	62	1.1	3.9	0.6
				120	94				92	1.4	5.8	0.8
				150	124				122	1.5	6.9	1.5
				180	154				152	1.9	8.8	1.9
				210	184				182	2.0	9.9	3.0
				240	214				212	2.3	11.8	3.7
				270	244				242	2.2	13.7	4.6
F63 – SLSC20 – 90	20	26	3	90	64	21	40	12	62	1.1	4.2	0.5
				120	94				92	1.4	6.2	0.8
				150	124				122	1.6	7.6	1.3
				180	154				152	2.0	9.6	1.8
				210	184				182	2.3	11.6	2.3
				240	214				212	2.6	13.7	3.0
				270	244				242	2.4	16.3	3.4



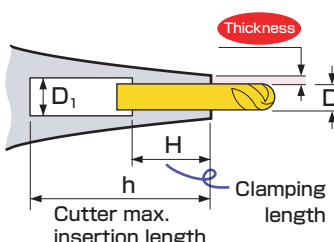
Dimensions
F80PD
For Makino



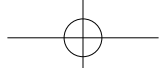
F80PD-SLSC16- 75



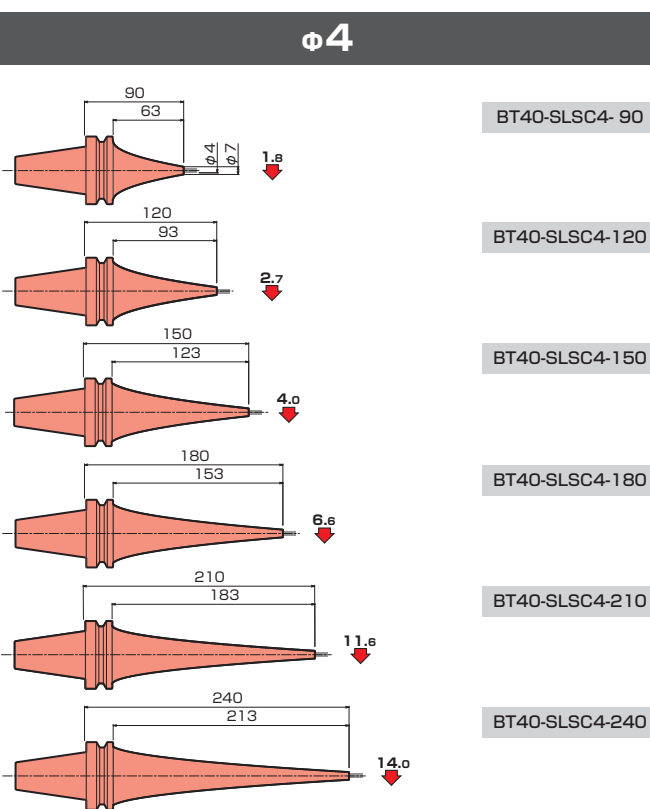
SCALE MODEL → P.28



Code	ϕD	ϕC	Thickness	L	M	ϕC_1	ϕD_1	H	h	Kg	N	S
F80PD-SLSC12- 75	12	26	7	75	49	67	13	30	48	1.4	4.8	0.4
				90	64				63	1.4	5.3	0.5
				120	94				93	1.9	8.5	0.5
				180	154				153	2.5	12.8	0.9
				240	214				213	2.9	15.7	1.8
F80PD-SLSC16- 75	16	32	8	75	49	17	32	40	48	1.5	5.4	0.3
				90	64				63	1.6	6.7	0.3
				120	94				93	2.1	9.9	0.4
				180	154				153	2.7	14.1	0.8
				240	214				213	3.4	19.5	1.3
F80PD-SLSC20- 75	20	38	9	75	49	21	40	42	48	1.5	5.8	0.3
				90	64				63	1.7	7.2	0.2
				120	94				93	2.1	10.5	0.4
				180	154				153	2.8	15.8	0.7
				240	214				213	3.7	22.1	1.1
F80PD-SLSC25- 75	25	45	10	75	49	26	42	42	48	1.6	6.6	0.2
				90	64				63	1.9	8.6	0.2
				120	94				93	2.3	11.9	0.3
				180	154				153	3.1	18.6	0.6
				240	214				213	4.1	25.2	1.0

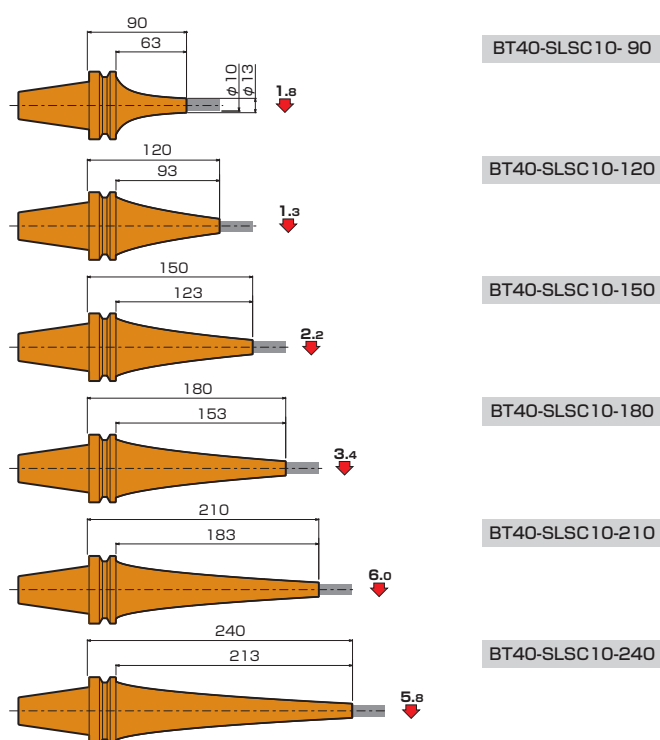


Φ4

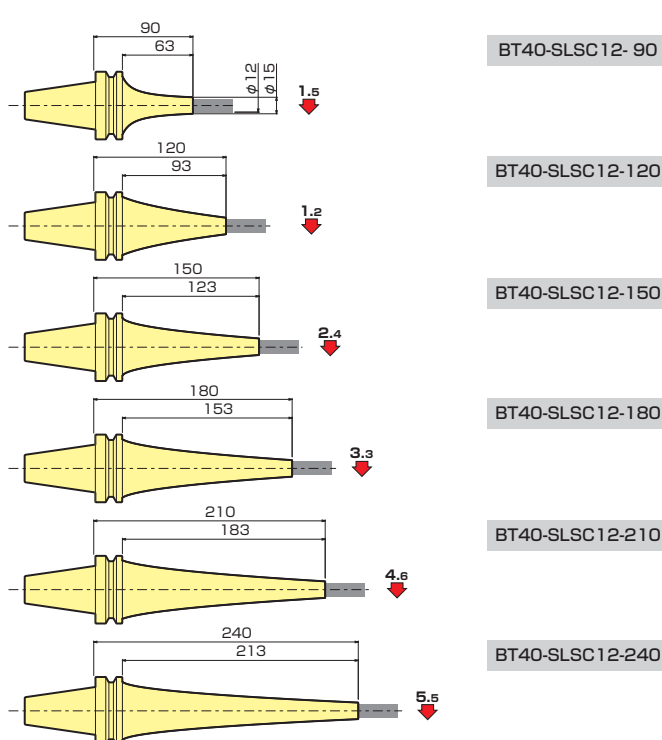


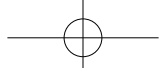
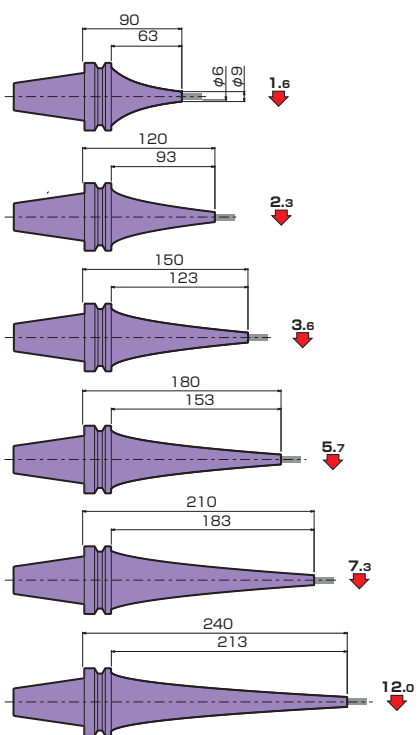
S Deflection value S ($\mu\text{m}/\text{kgf}$) :
at the 3D cutter projection.

Φ10



Φ12



**Φ6**

BT40-SLSC6- 90

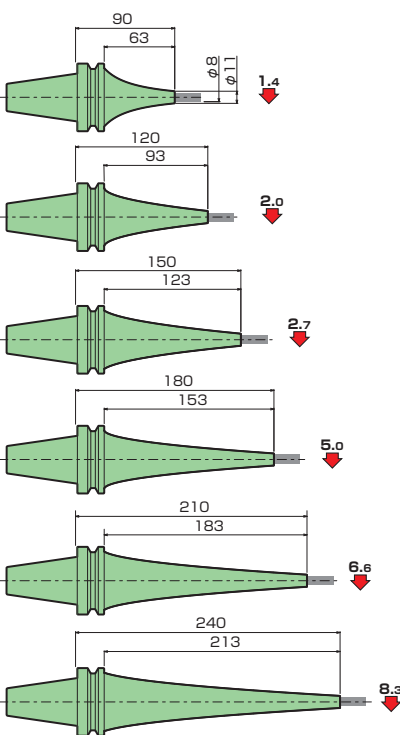
BT40-SLSC6-120

BT40-SLSC6-150

BT40-SLSC6-180

BT40-SLSC6-210

BT40-SLSC6-240

Φ8

BT40-SLSC8- 90

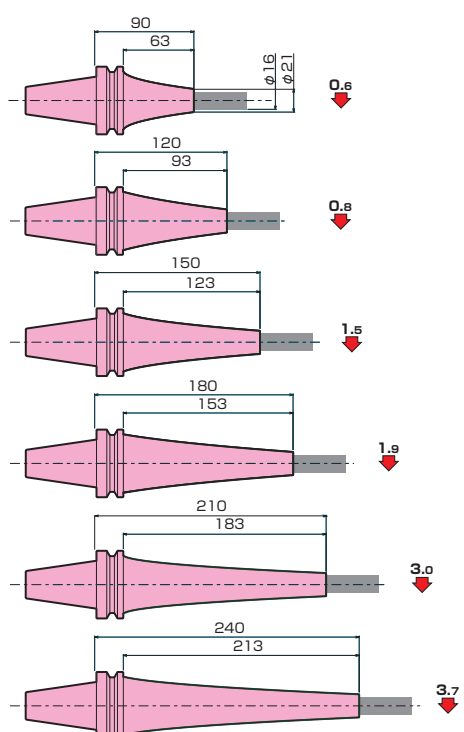
BT40-SLSC8-120

BT40-SLSC8-150

BT40-SLSC8-180

BT40-SLSC8-210

BT40-SLSC8-240

Φ16

BT40-SLSC16- 90

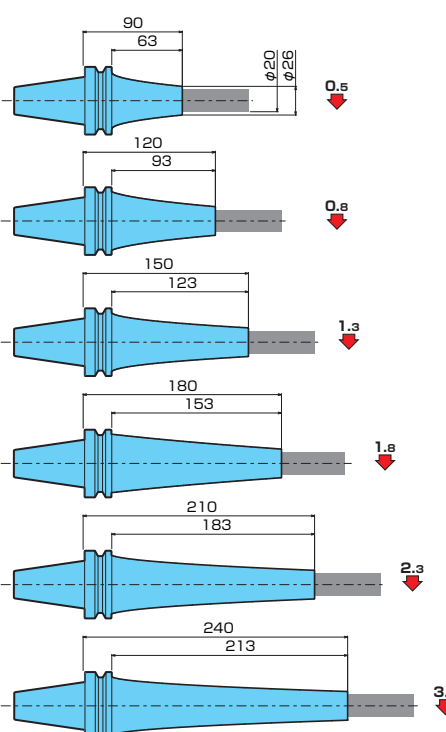
BT40-SLSC16-120

BT40-SLSC16-150

BT40-SLSC16-180

BT40-SLSC16-210

BT40-SLSC16-240

Φ20

BT40-SLSC20- 90

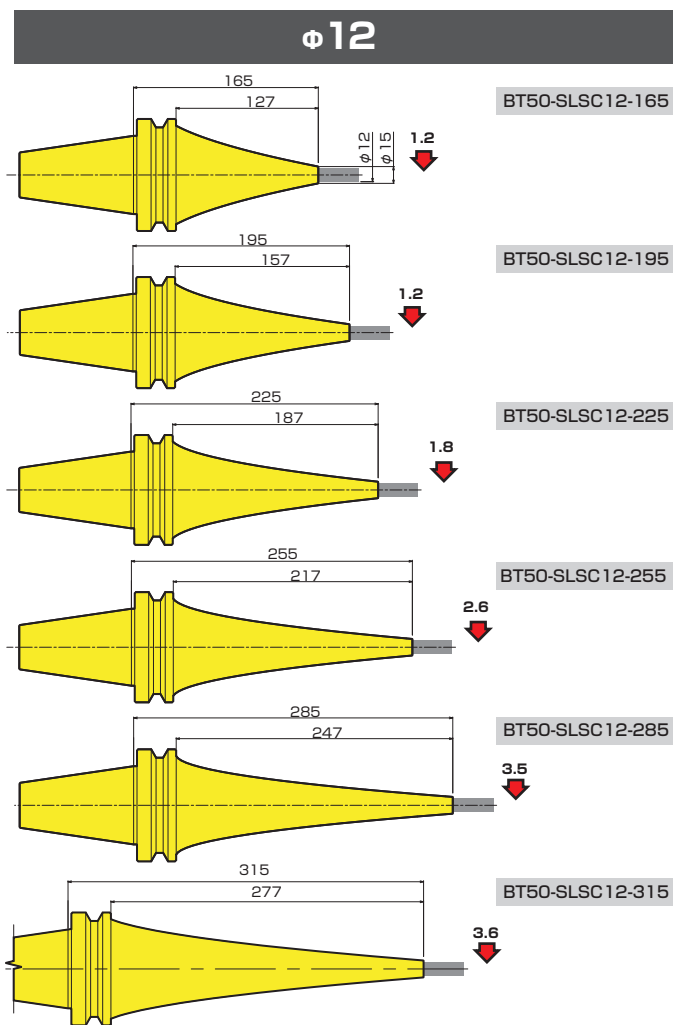
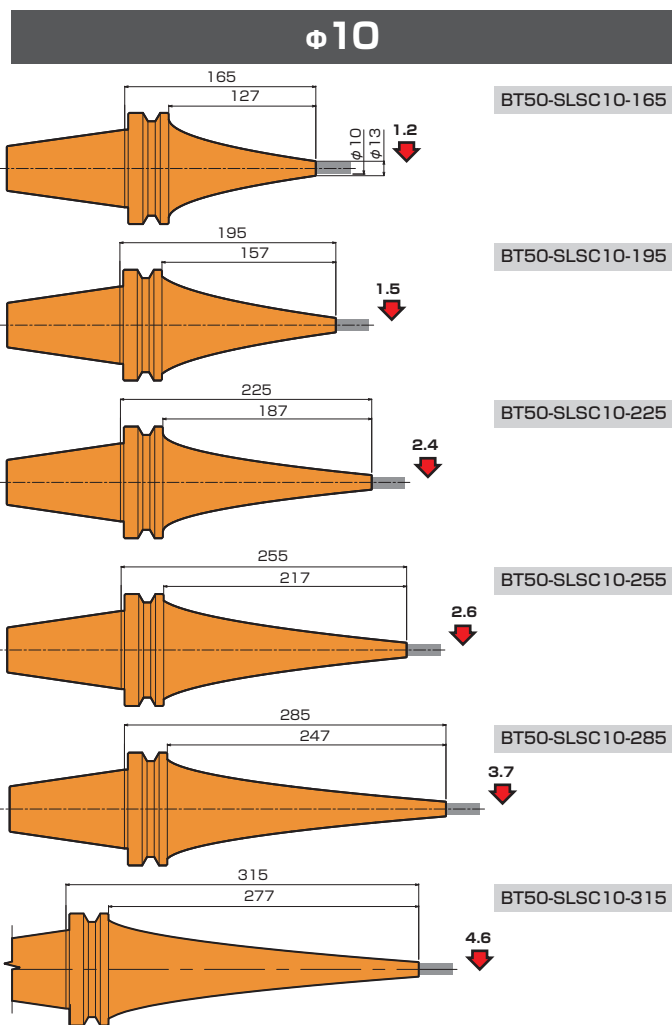
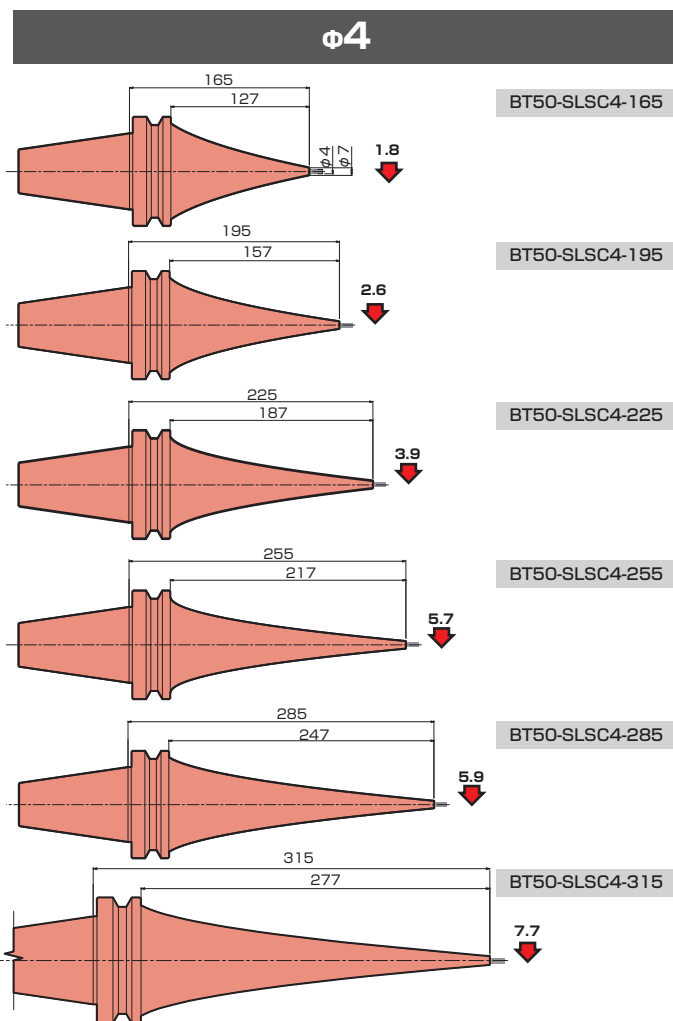
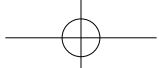
BT40-SLSC20-120

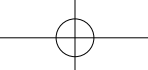
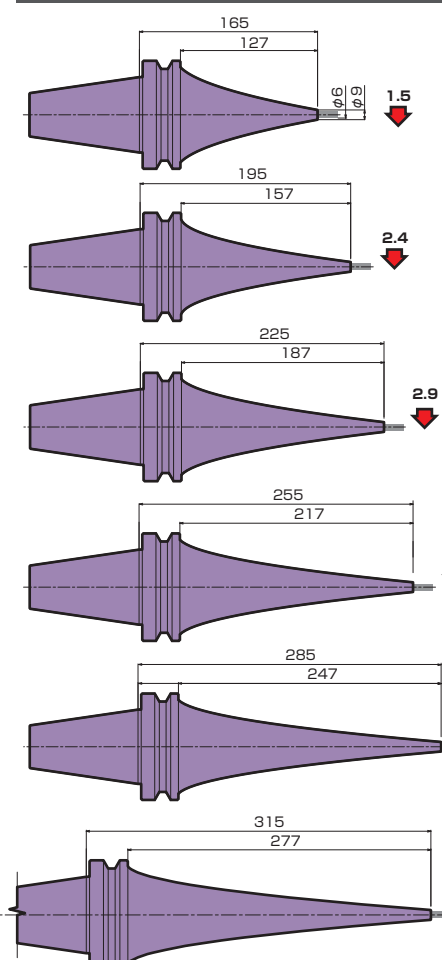
BT40-SLSC20-150

BT40-SLSC20-180

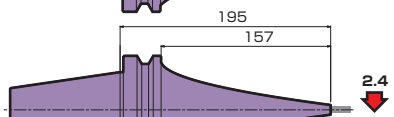
BT40-SLSC20-210

BT40-SLSC20-240

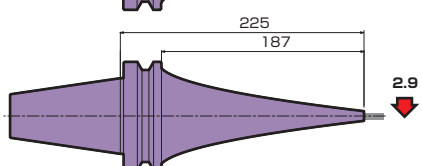


**Φ6**

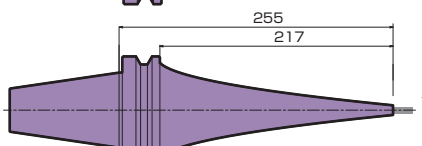
BT50-SLSC6-165



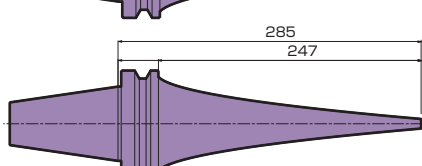
BT50-SLSC6-195



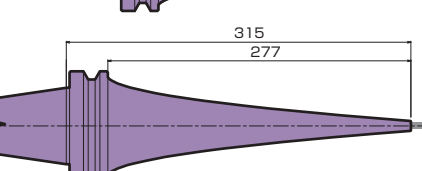
BT50-SLSC6-225



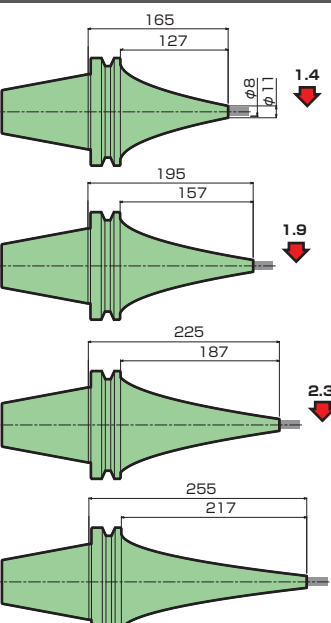
BT50-SLSC6-255



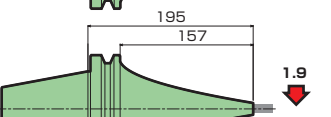
BT50-SLSC6-285



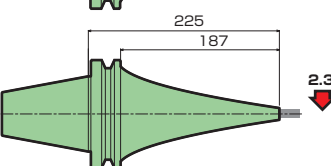
BT50-SLSC6-315

Φ8

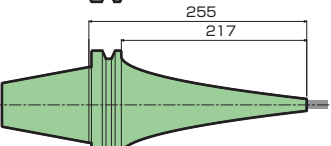
BT50-SLSC8-165



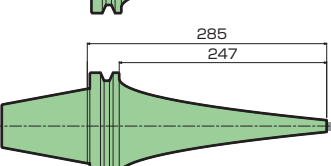
BT50-SLSC8-195



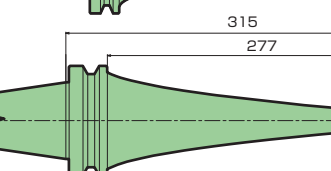
BT50-SLSC8-225



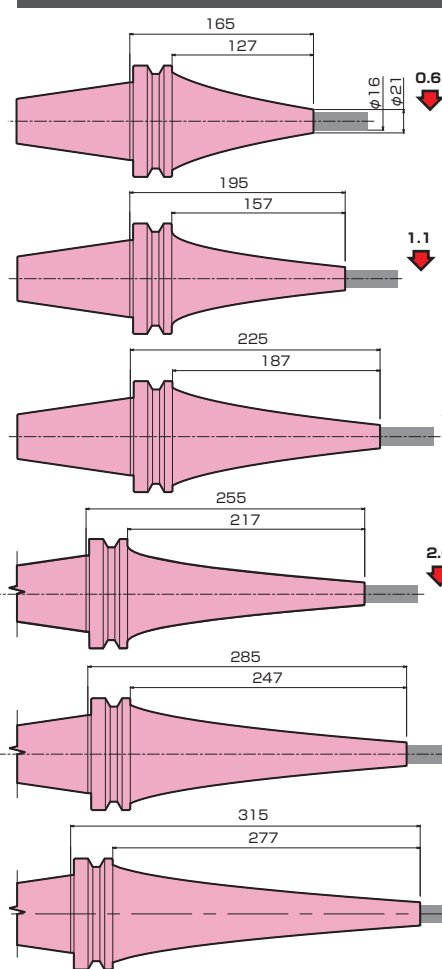
BT50-SLSC8-255



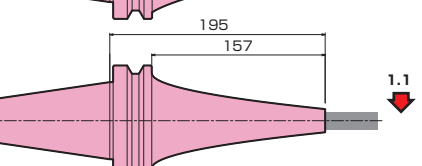
BT50-SLSC8-285



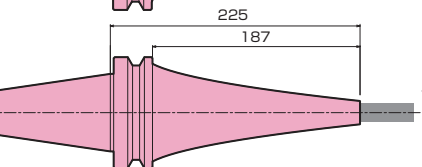
BT50-SLSC8-315

Φ16

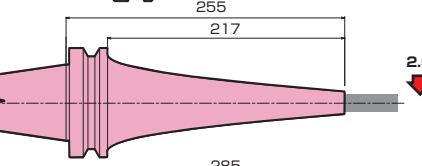
BT50-SLSC16-165



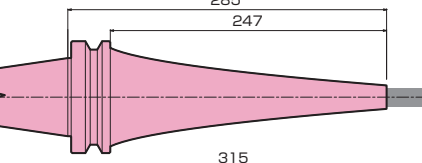
BT50-SLSC16-195



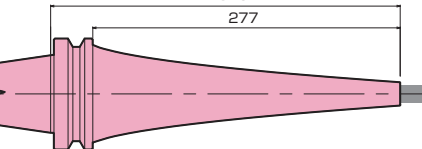
BT50-SLSC16-225



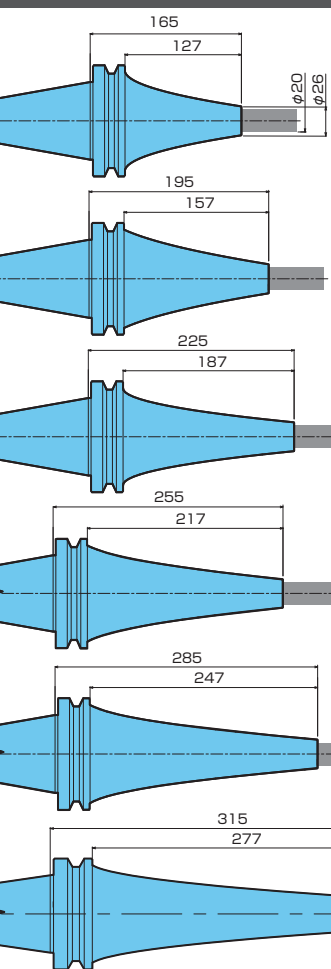
BT50-SLSC16-255



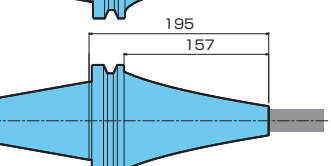
BT50-SLSC16-285



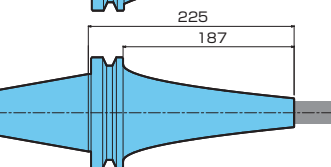
BT50-SLSC16-315

Φ20

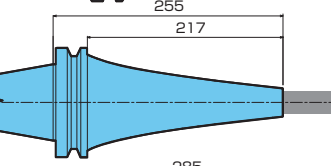
BT50-SLSC20-165



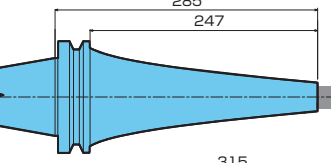
BT50-SLSC20-195



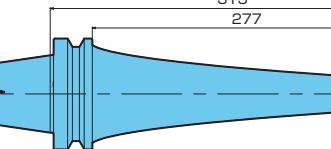
BT50-SLSC20-225



BT50-SLSC20-255

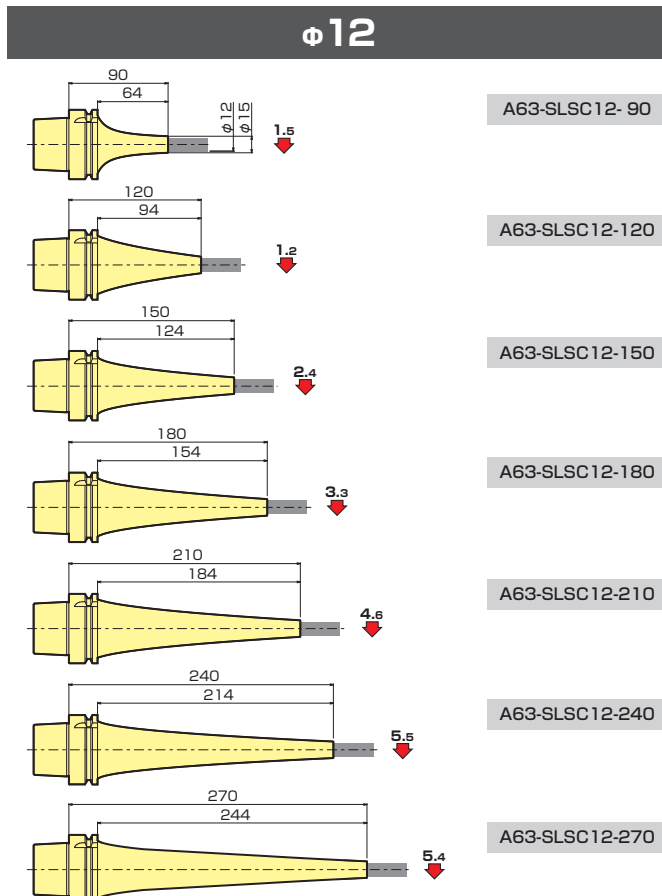
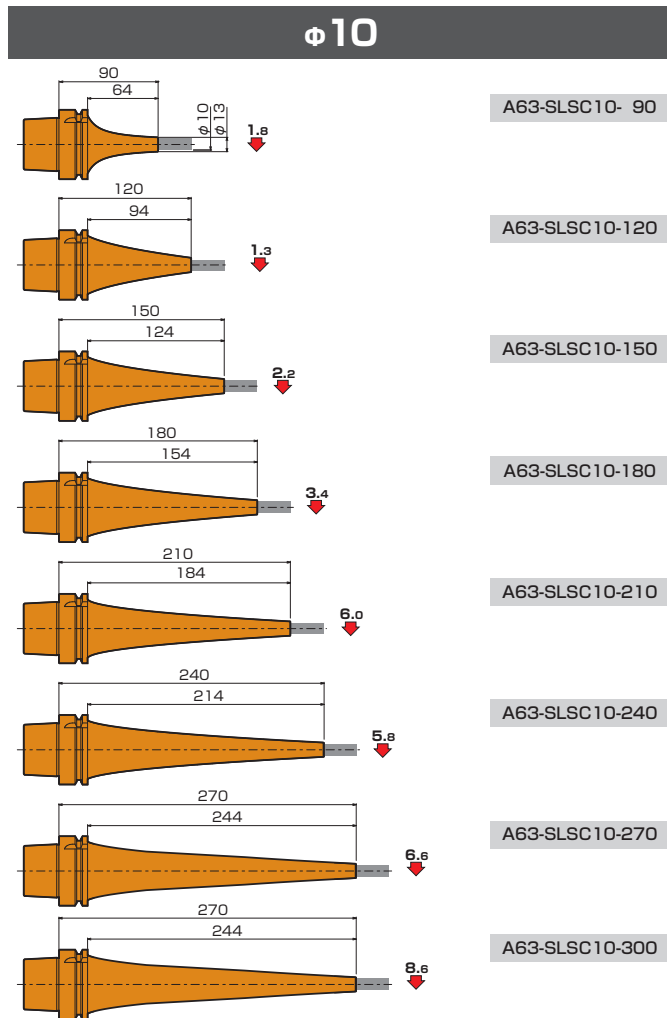
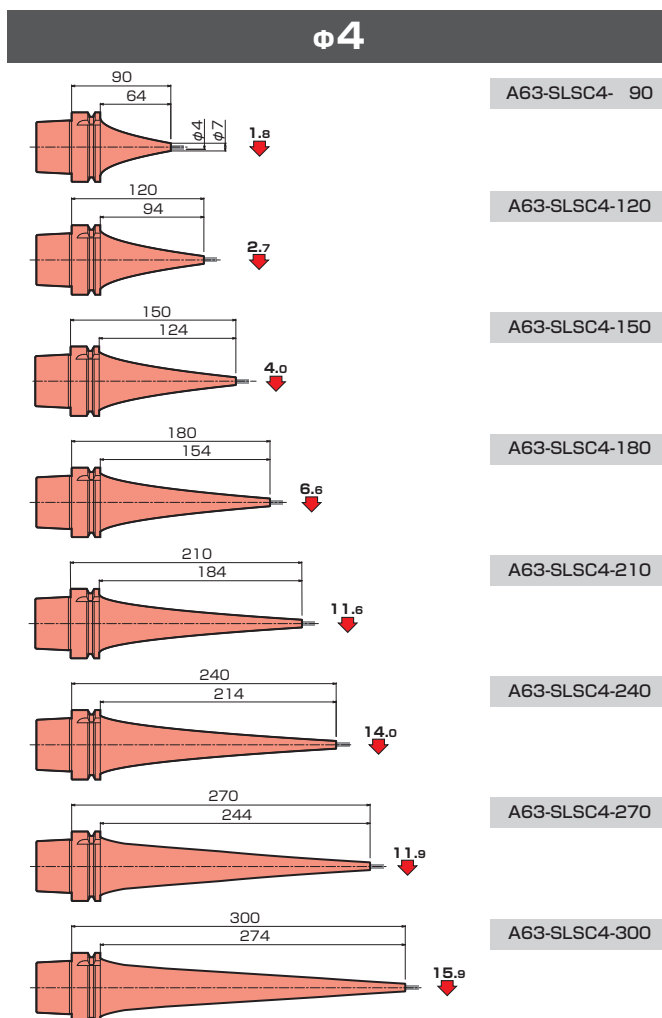
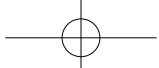


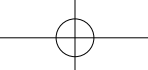
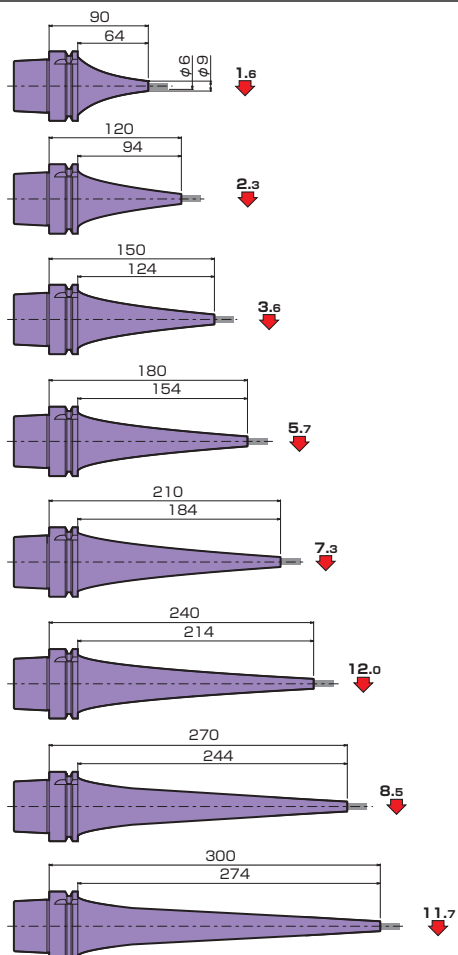
BT50-SLSC20-285



BT50-SLSC20-315

MST



**Φ6**

A63-SLSC6- 90

A63-SLSC6-120

A63-SLSC6-150

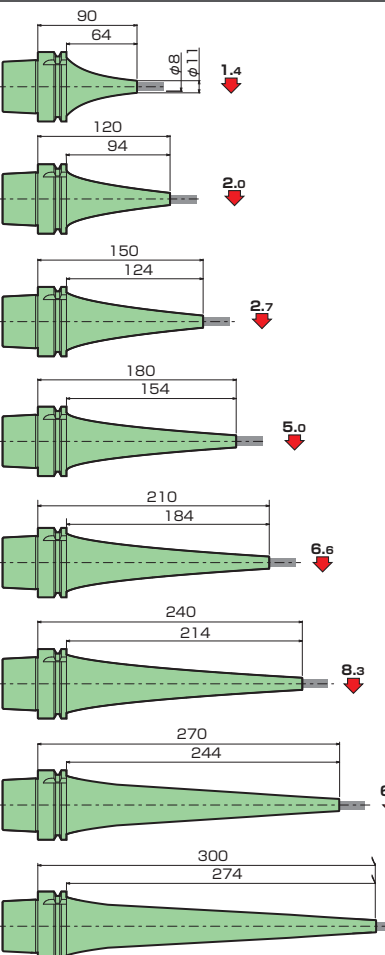
A63-SLSC6-180

A63-SLSC6-210

A63-SLSC6-240

A63-SLSC6-270

A63-SLSC6-300

Φ8

A63-SLSC8- 90

A63-SLSC8-120

A63-SLSC8-150

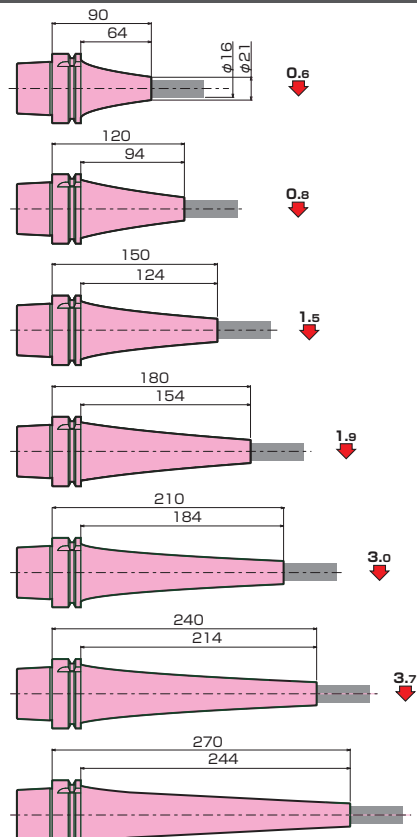
A63-SLSC8-180

A63-SLSC8-210

A63-SLSC8-240

A63-SLSC8-270

A63-SLSC8-300

Φ16

A63-SLSC16- 90

A63-SLSC16-120

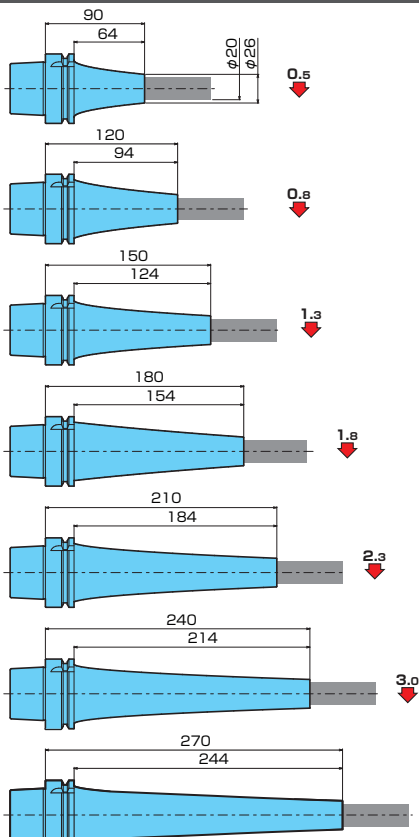
A63-SLSC16-150

A63-SLSC16-180

A63-SLSC16-210

A63-SLSC16-240

A63-SLSC16-270

Φ20

A63-SLSC20- 90

A63-SLSC20-120

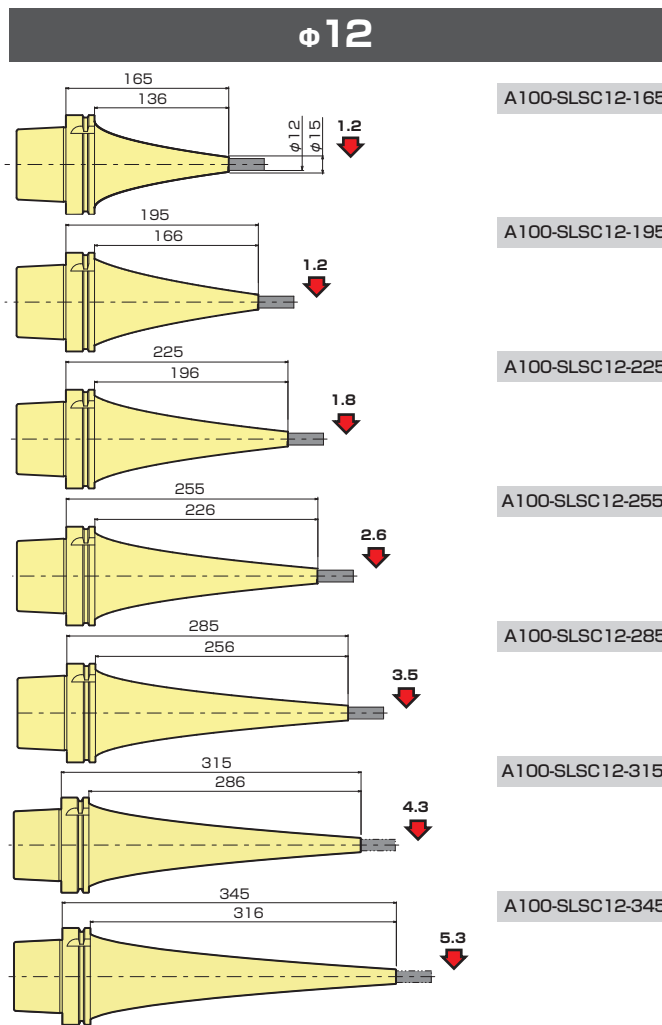
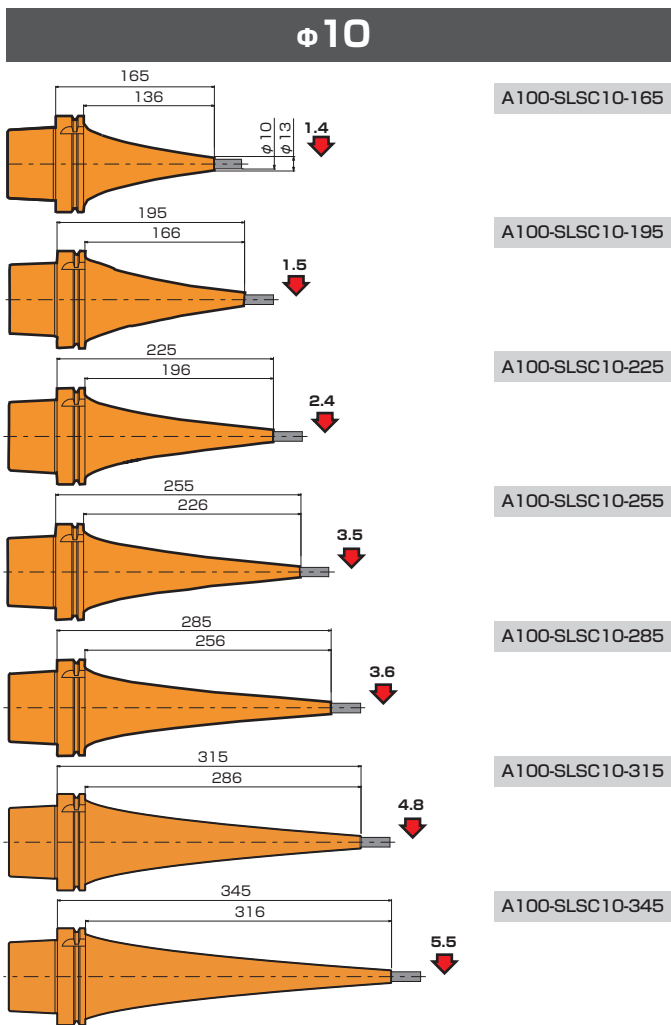
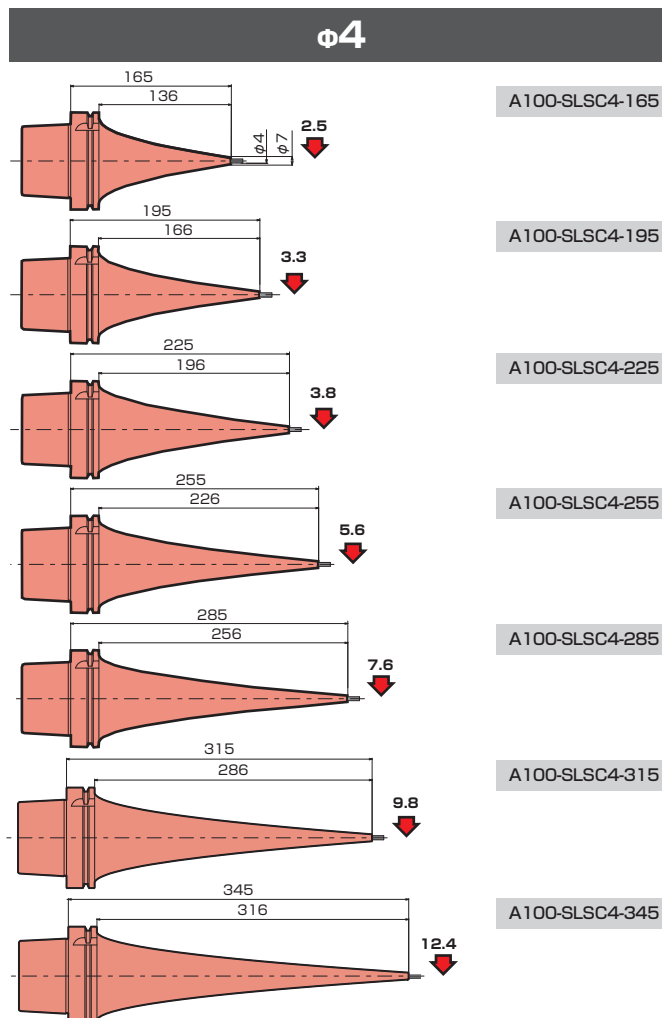
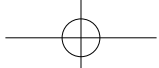
A63-SLSC20-150

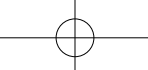
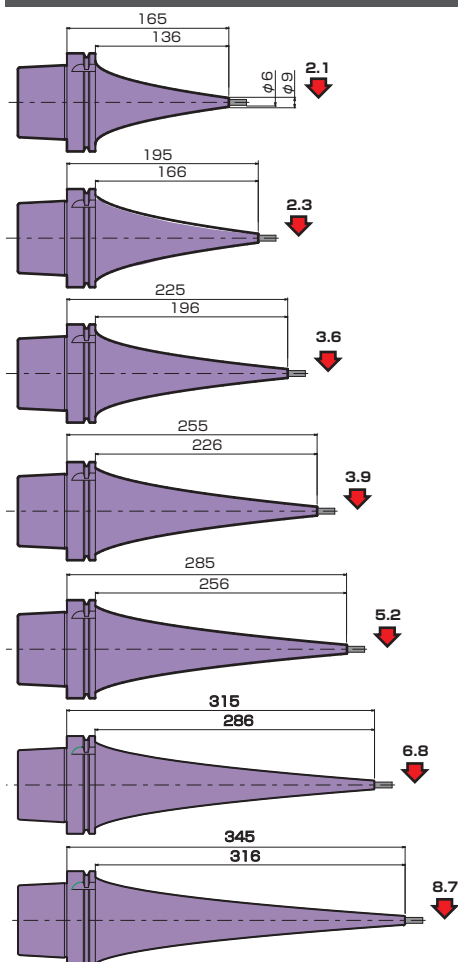
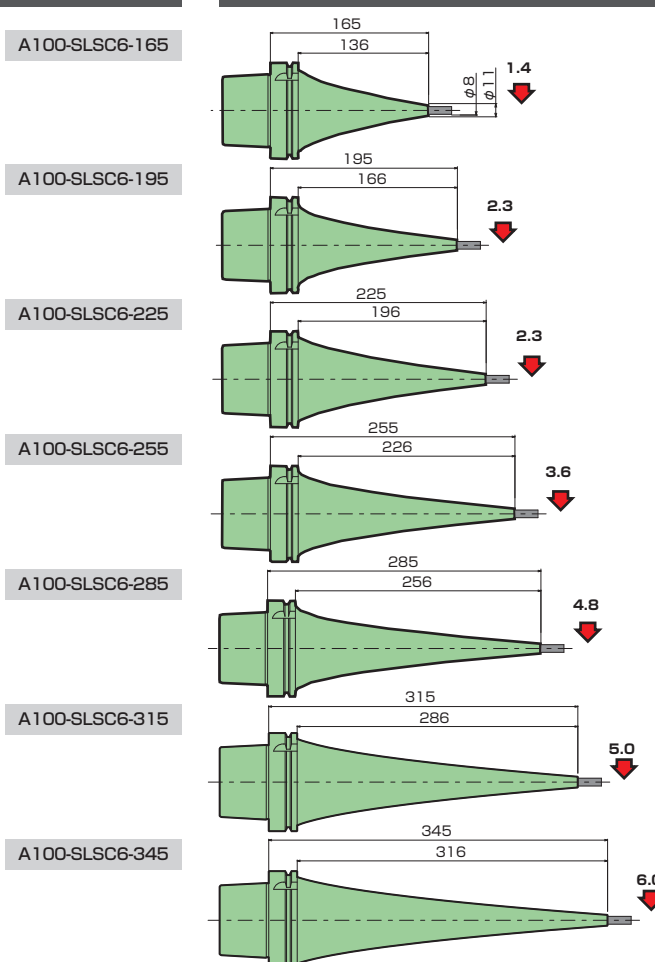
A63-SLSC20-180

A63-SLSC20-210

A63-SLSC20-240

A63-SLSC20-270



**Φ6****Φ8**

A100-SLSC8-165

A100-SLSC8-195

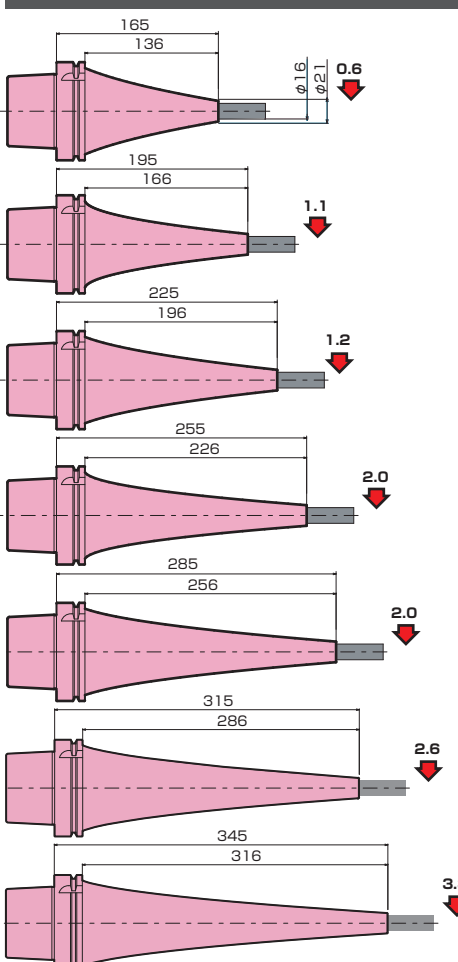
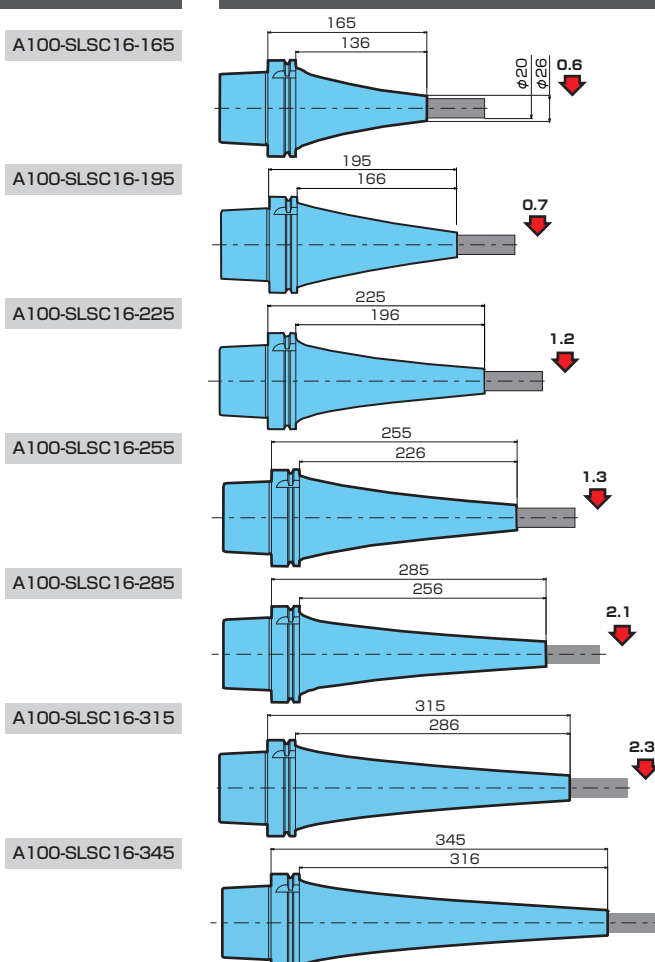
A100-SLSC8-225

A100-SLSC8-255

A100-SLSC8-285

A100-SLSC8-315

A100-SLSC8-345

Φ16**Φ20**

A100-SLSC20-165

A100-SLSC20-195

A100-SLSC20-225

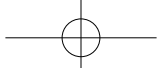
A100-SLSC20-255

A100-SLSC20-285

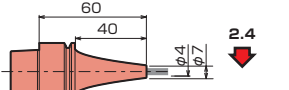
A100-SLSC20-315

A100-SLSC20-345

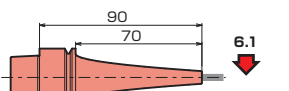
MST



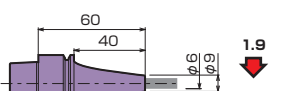
E32($\phi 4 \sim \phi 10$)



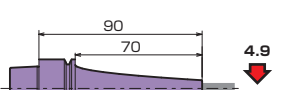
E32-SLSC4-60



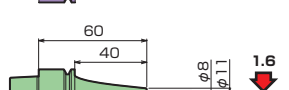
E32-SLSC4-90



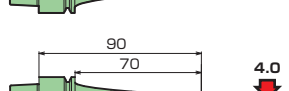
E32-SLSC6-60



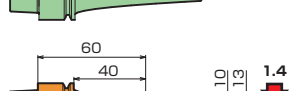
E32-SLSC6-90



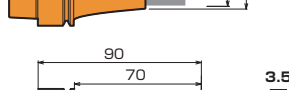
E32-SLSC8-60



E32-SLSC8-90

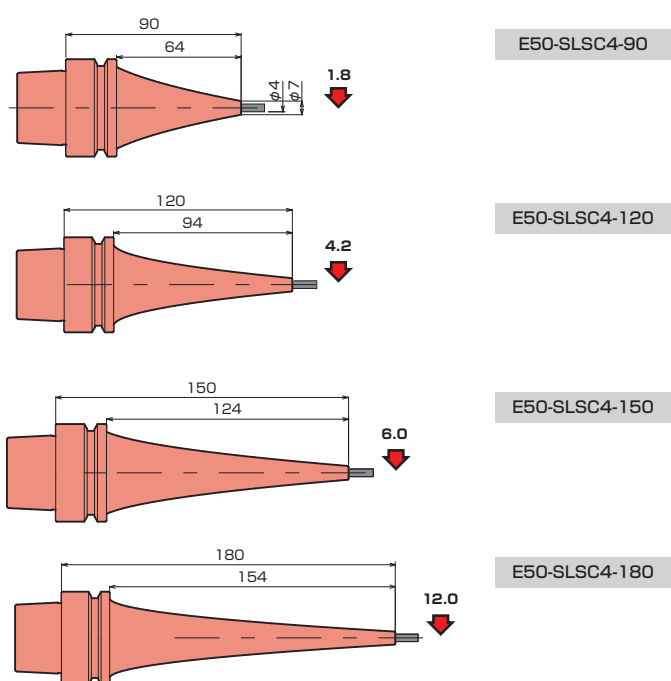


E32-SLSC10-60



E32-SLSC10-90

E50 ($\phi 4, \phi 6$)



E50-SLSC4-90

E50-SLSC6-90

E50-SLSC4-120

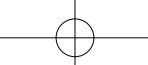
E50-SLSC6-120

E50-SLSC4-150

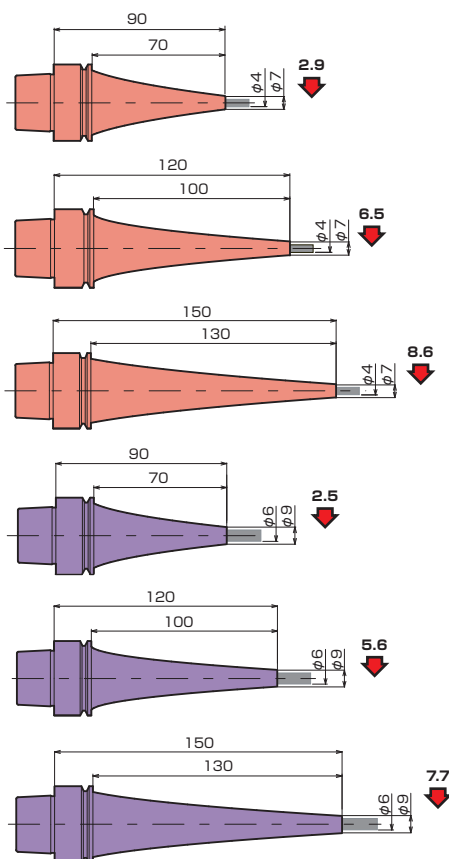
E50-SLSC6-150

E50-SLSC4-180

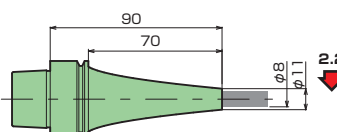
E50-SLSC6-180



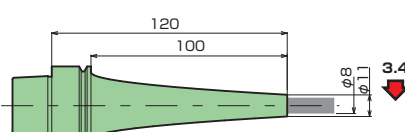
E40($\phi 4 \sim \phi 10$)



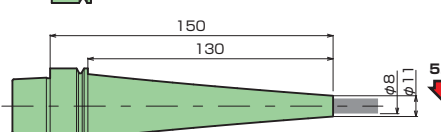
E40-SLSC4-90



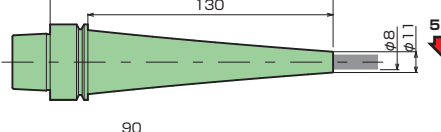
E40-SLSC8-90



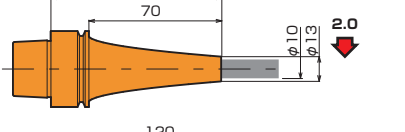
E40-SLSC8-120



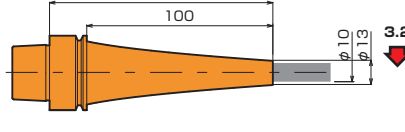
E40-SLSC8-150



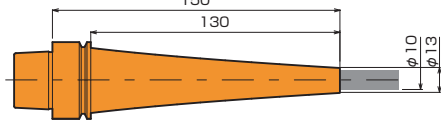
E40-SLSC10-90



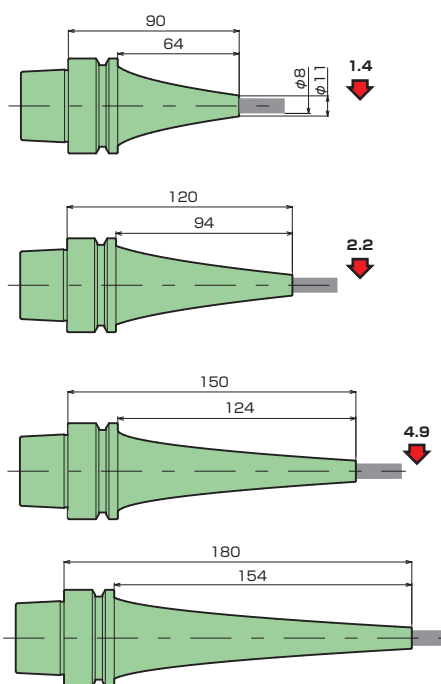
E40-SLSC10-120



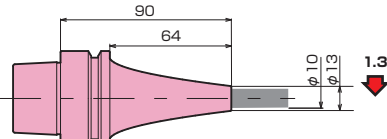
E40-SLSC10-150



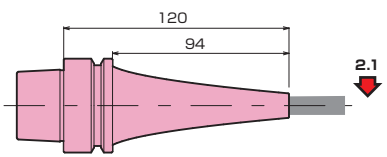
E50 ($\phi 8$, $\phi 10$)



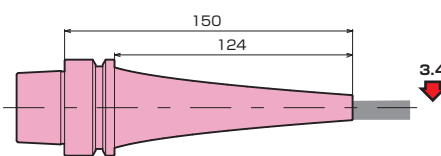
E50-SLSC8-90



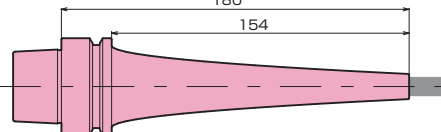
E50-SLSC10-90



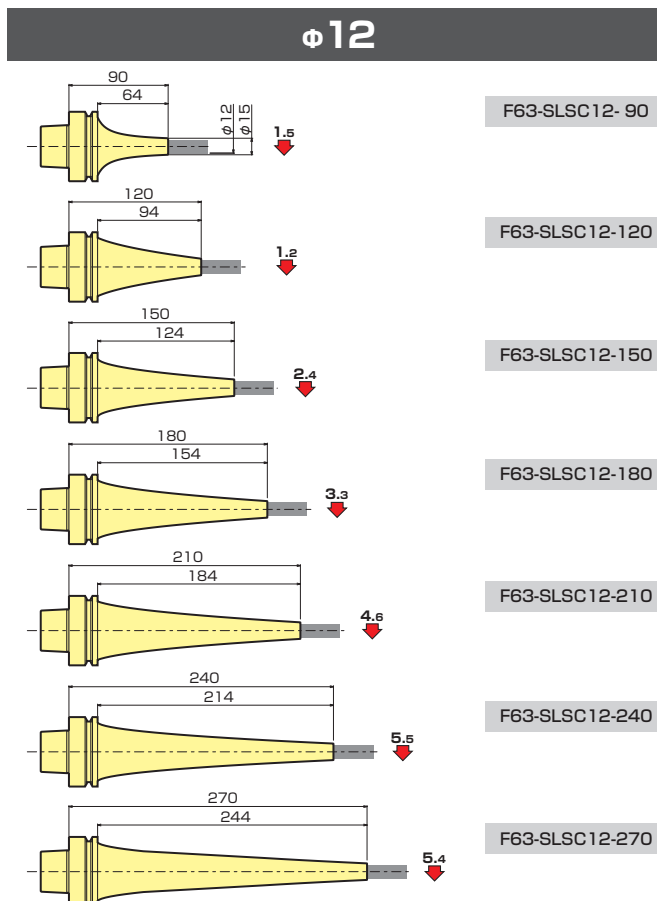
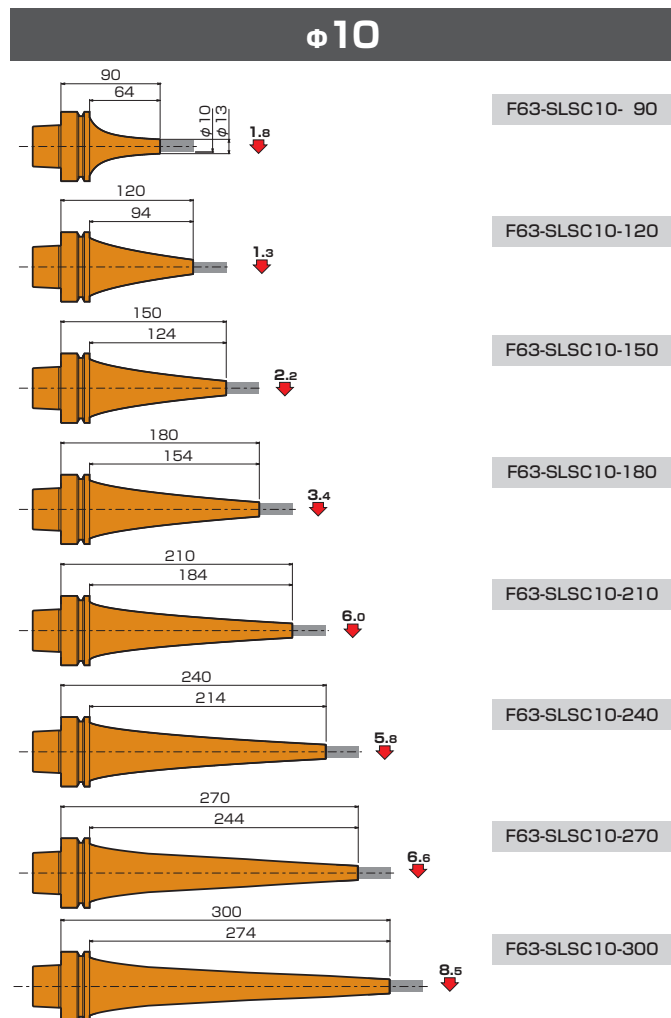
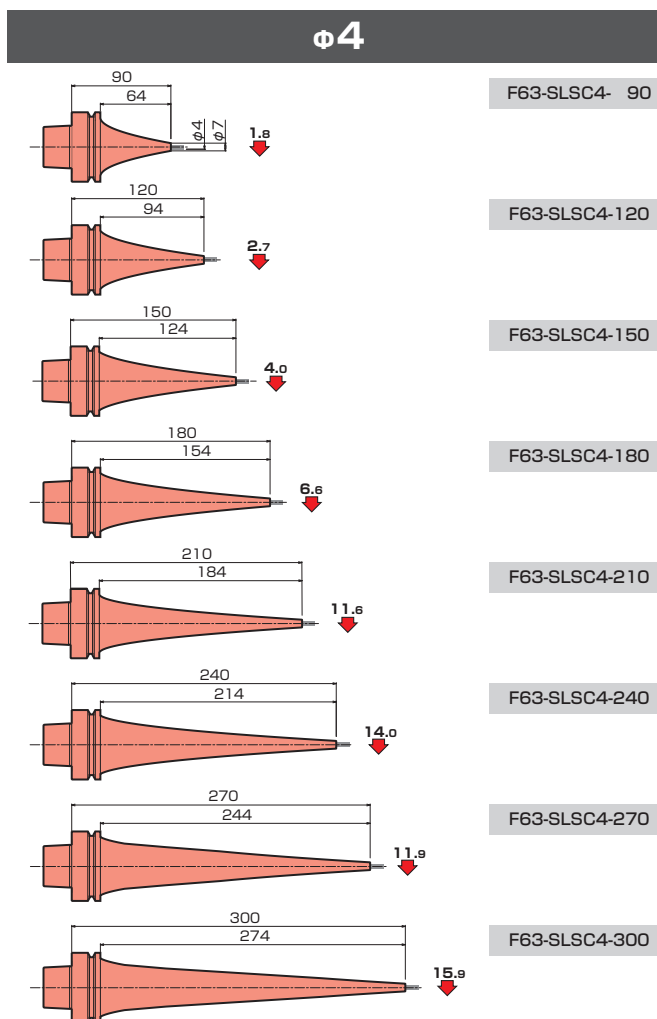
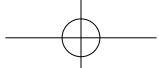
E50-SLSC10-120

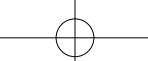
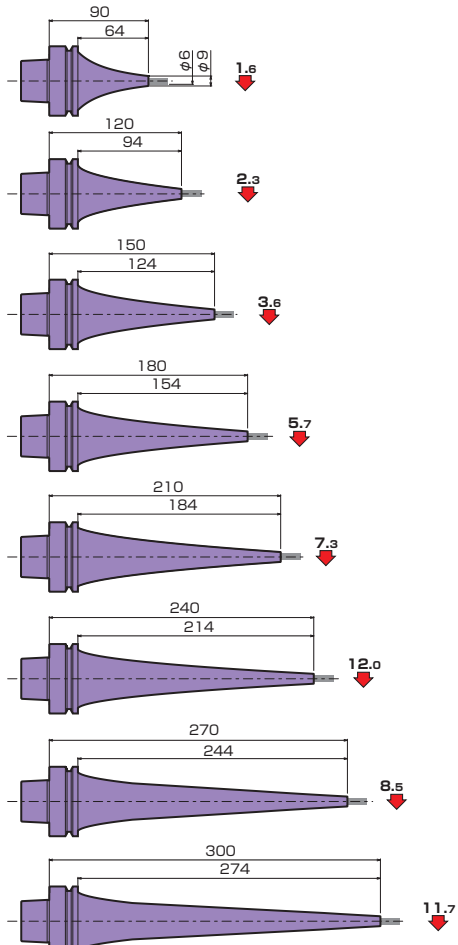
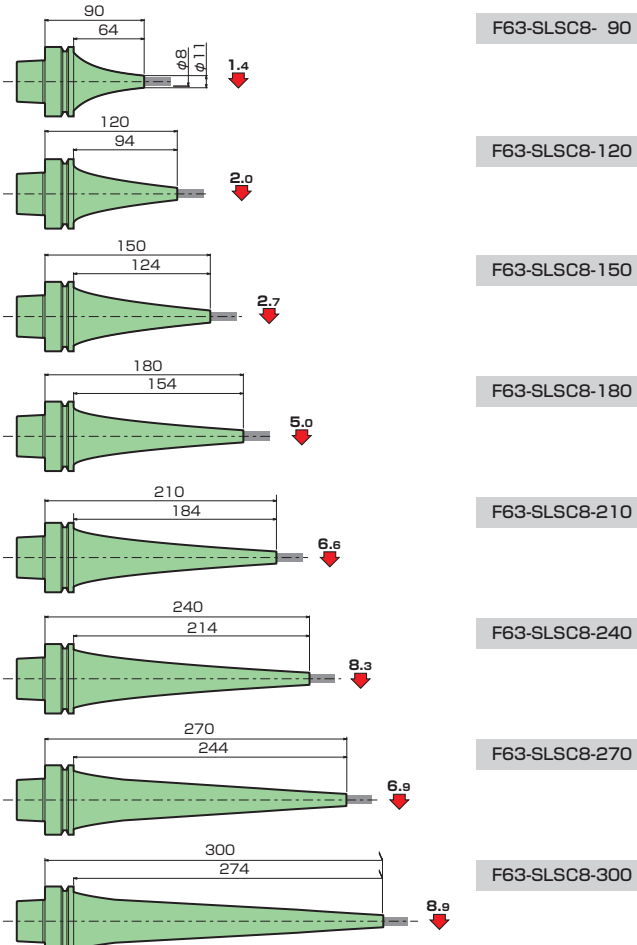
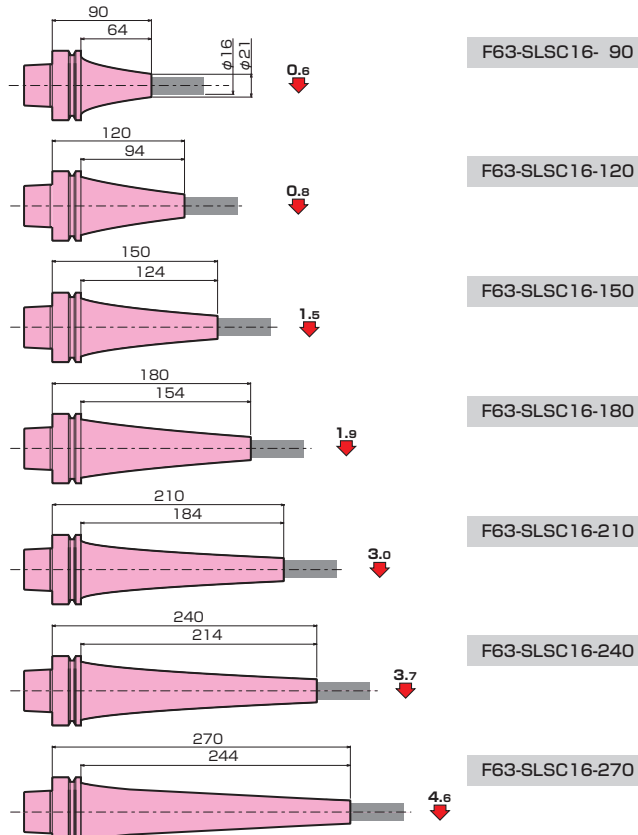
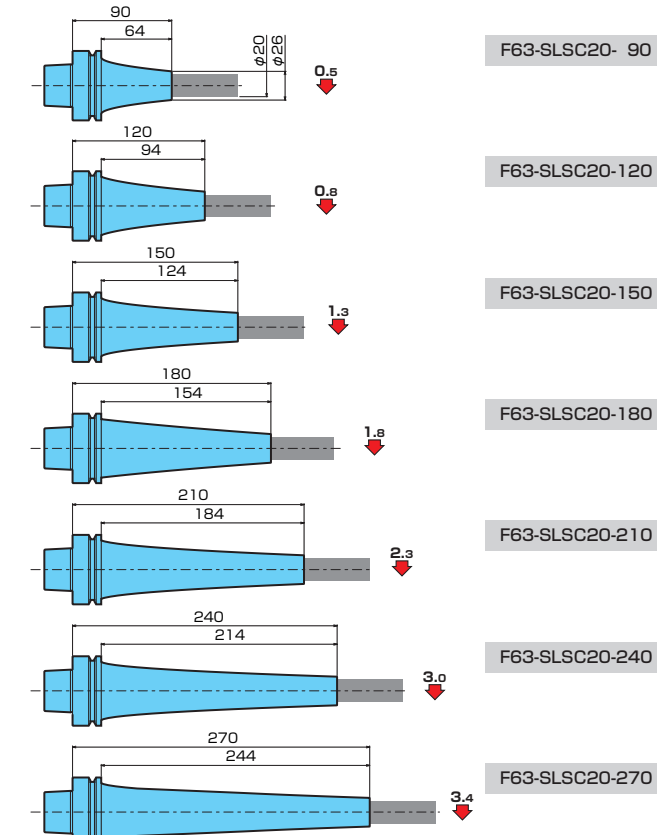


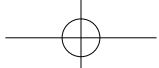
E50-SLSC10-150



E50-SLSC10-180



**Φ6****Φ8****Φ16****Φ20**



SCALE MODEL
F80PD
For Makino

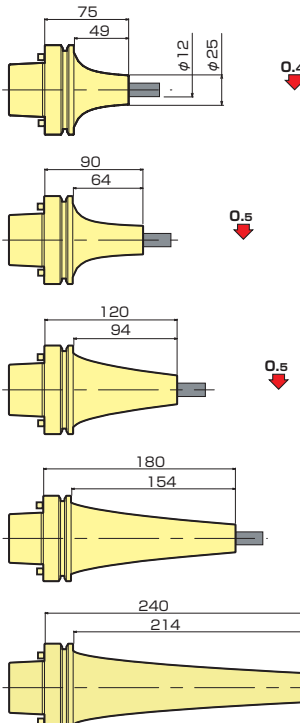


PIN

Dimensions → P.15

S Deflection value S ($\mu\text{m}/\text{kgf}$) :
at the 3D cutter projection.

Φ12



F80PD-SLSC12- 75

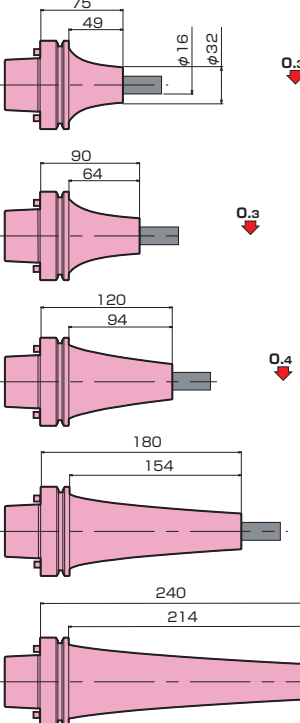
F80PD-SLSC12- 90

F80PD-SLSC12-120

F80PD-SLSC12-180

F80PD-SLSC12-240

Φ16



F80PD-SLSC16- 75

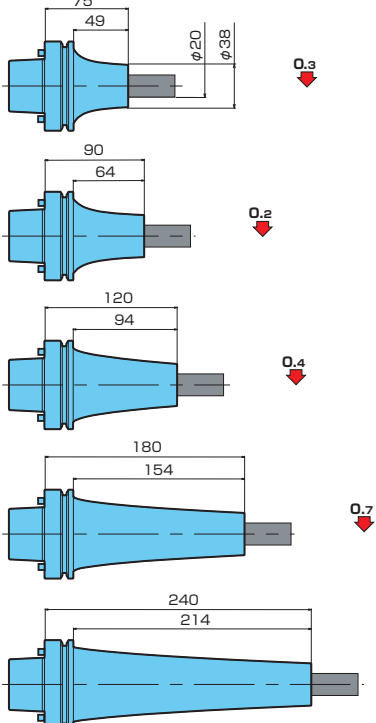
F80PD-SLSC16- 90

F80PD-SLSC16-120

F80PD-SLSC16-180

F80PD-SLSC16-240

Φ20



F80PD-SLSC20- 75

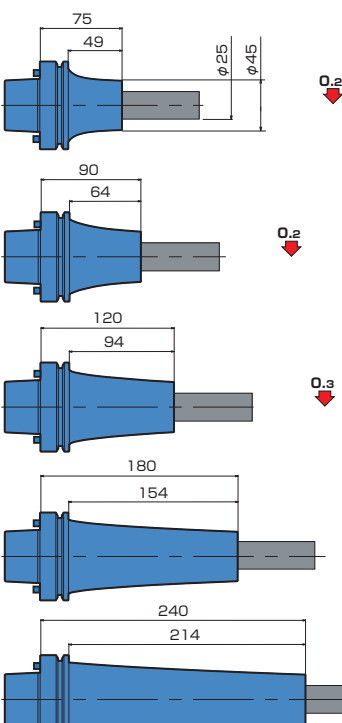
F80PD-SLSC20- 90

F80PD-SLSC20-120

F80PD-SLSC20-180

F80PD-SLSC20-240

Φ25



F80PD-SLSC25- 75

F80PD-SLSC25- 90

F80PD-SLSC25-120

F80PD-SLSC25-180

F80PD-SLSC25-240

MST corporation
日本恩司迪公司

U.S.Patent No.5,311,654 ; U.S.Patent No.5,582,494

1738 Kita-tahara, ikoma, Nara 630-0142 Japan
TEL : +81 (0)743 78 1931

FAX : +81 (0)743 78 3854

<http://www.mst-corp.co.jp>